

ПЕРЕОБЛК 2019 р.

629.73
К83

629.73
K-83

ПРОВЕРЕН
1952 г.

Проверено
1958 г.

ПЕРЕВИРЕН
1985 р.

ПЕРЕОБЛК 2019 р.

Научно-техническая
библиотека
"ХАИ"



kn0003354

Об устойчивости прямоугольной пластинки с опертными краями при действии касательных напряжений.

(В порядке предварительных замечаний к соответствующим формулам члнк. Знаменского).

Потеря устойчивости упругого элемента наступает вследствие возникновения в этом элементе сжимающих напряжений в зависимости от того или иного внешнего загружения на упругое тело, к которому принадлежит рассматриваемый элемент.

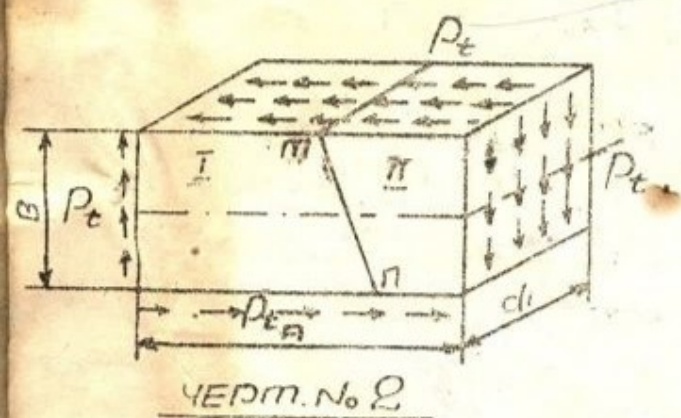
Вследствие появления сжимающих напряжений в пластинке (черт. № 1) плоская форма этой пластинки перестает быть устойчивой (т.е. пластинка выпучивается, искривляется) при касательных напряжениях R_t , больших, так называемых, критических напряжений R_{tkr} . Напряжения R_t по контуру пластинки предполагаются постоянными (т.е. касательные силы по узким граням пластинки распределены равномерно). Тем, чтобы получить некоторое представление о величине сжимающих напряжений и ли они их действие в рассматриваемой нами пластинке, займемся рассмотрением бруса, подверженного действию

касательных напряжений постоянной величины, т.е. чистому сдвигу.

Брус (черт. № 2) отличается от пластинки значительно большей толщиной d , при тех же размерах A и B .

Определяем напряжения на наклонной площадке тп. Это определение осуществляется аналогично определению нормальных и касательных напряжений на косой пло-

щадке бруса, подверженного воздействию равномерного растяжения и сжатия по двум взаимно перпендикулярным направлениям (см. Тимошенко «Сопротивление материалов» ч. I). Из рассмотрения черт. № 3, следует, что касательное напряжение на наклонной площадке тп равно $t_\alpha = t'_\alpha - t''_\alpha$, где t'_α и t''_α суть касательные составляющие напряжений P_t' и P_t'' , действующие по наклонной площадке тп.



Черт. № 2

Прежде, напряжения P_t' и P_t'' суть соответственно вертикальные и горизонтальные напряжения вычисленные как интенсивности распределения соответствующей полной касательной силы P_t на наклонную площадку тп.

Если вертикальное касательное напряжение P_t (или интенсивность соответствующей касательной силы P_t) отнести к наклонной площадке тп, то мы получим напряжение $P_t' = P_t \frac{F}{F_\alpha} = P_t \frac{F \cos(90-\alpha)}{R} = P_t \cos(90-\alpha) = P_t \sin \alpha$ и анало-

гично для горизонтального касательного напряжения, отнесенного к наклонной площаадке мы получаем:

$$\rho_t'' = \rho_t \frac{F_e}{F_a} = \rho_t \frac{F_e \cos \alpha}{F_e} = \rho_t \cdot \cos \alpha$$

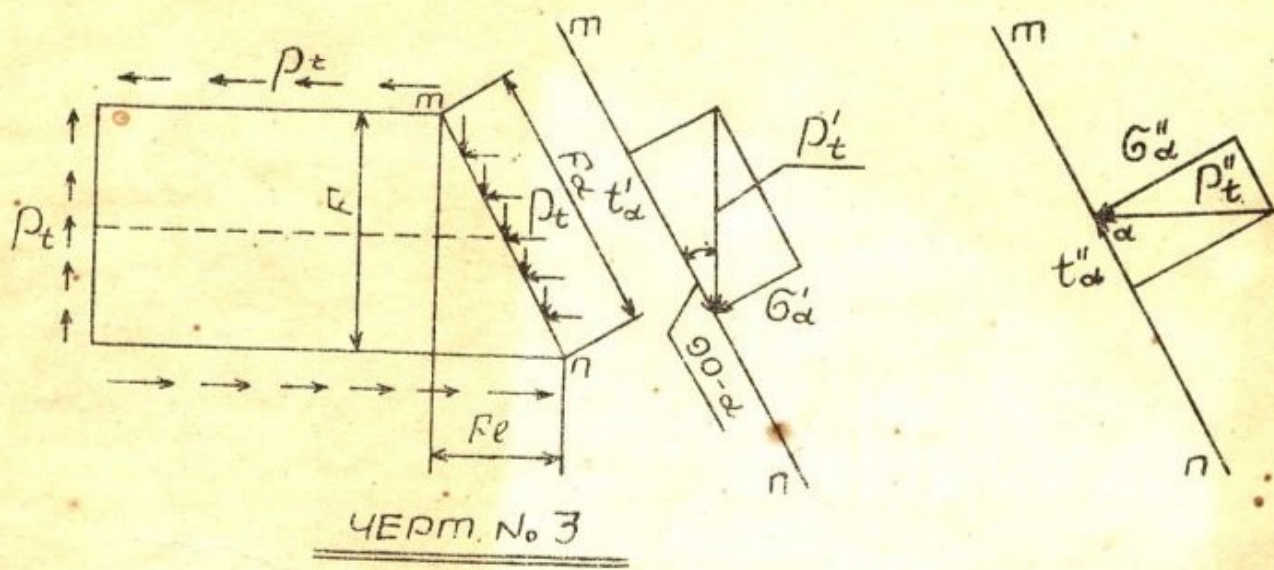
Тогда $t' \alpha = \rho_t' \cos (90 - \alpha) = \rho_t \cdot \sin^2 \alpha$

и $t'' \alpha = \rho_t'' \cdot \cos \alpha = \rho_t \cdot \cos^2 \alpha$,

после чего $t \alpha = \rho_t (\sin^2 \alpha - \cos^2 \alpha)$

Аналогично определению напряжению $t \alpha$ определяем нормально скимающее напряжение σ_α (см. черт. № 3)

$$\sigma_\alpha = \sigma_\alpha' + \sigma_\alpha'' = \rho_t \cdot \sin \alpha \cdot \cos \alpha + \rho_t \cdot \cos \alpha \cdot \sin \alpha = \rho_t \cdot \sin 2\alpha.$$



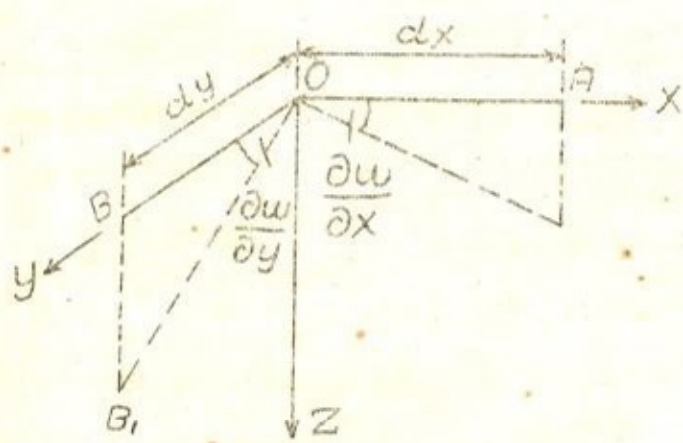
Стало быть, нормальное скимающее напряжение σ_α достигает максимума на площаадке, наклонен. под углом в 45° к осевой плоскости бруска, или что тоже к плоскости действия касательных напряжений и равно:

$$\sigma_{\alpha \max} = \rho_t \quad \text{при } \alpha = 45^\circ.$$

Таким образом наибольш выпучивание бруска следует ожидать в плоскости наклоненной под углом $\alpha = 45^\circ$ к осевой плоскости бруска (выше этого совпадает с результатами, полученными инж. Знаменским который в основу своих выводов кладет равномерное распределение напряжений, которое имеет место в бруске но не в пластинке). Опыты подтверждают то обстоятельство, что выпучивание пластинки (или иначе говоря прогиба пластинки) действительны идут по линиям, перпендикулярным к направлению наибольших скользящих напряжений, которые в отличие от бруска в пластинке не распределяются равномерно по осям X и Y . Это обстоятельство ставит вопрос о разработке особого способа для определения критических напряжений R_{tk} применительно к пластинке. Осветим ход определения критических напряжений R_{tk} в пластинке, подверженной действию касательных напряжений R_t с применением метода Тимошенко-Ритца. По этому методу критические напряжения определяются из условия $\delta V = \delta T$, характеризующего устойчивость тела и выражющегося в том, что в положении устойчивости приращение потенциальной энергии (δV) равно приращению работы внешних сил (δT). Воздействие касательных напряжений R_t на рассматриваемую нами пластинку может быть заменено соответствующими сдвигами этой пластинки и получаемая при этом работа деформации и будет работой внешних напряжений R_t .

Для получения величины упомянутых сдвигов рассмотрим какую-либо точку Q черт. № 4 на срединной

плоскости пластиинки; через эту точку проведем два линейных элемента $OA = dx$ и $OB = dy$ параллельных (до деформации пластиинки) соответственно осям X и Y . Ось Z на черт. № 4 направлена нормально к срединной плоскости пластиинки (которая лежит в координатной плоскости XOY). Когда напряжение $P_t > P_{t\text{кр}}$, произойдет



ЧЕРТ. № 4

выпучивание пластиинки, которое приведет к вертикальному (и горизонтальному) перемещению отрезков OA и OB . (эти отрезки после деформации переидут соответственно в положения OA_1 и OB_1) и к уменьшению первоначального угла между отрезками OA и OB , т.е. к сдвигу этих отрезков. Энергия сдвига соответствует работе внешних сил, а энергия изгиба соответствует работе внутренних сил при выпучивании пластиинки. Поскольку уравнение поверхности выпучивания пластиинки прямым путем трудно определить, это уравнение для случая опертой пластиинки проф. Тимошенко задает в виде двойной суммы:

$$\omega = \sum_{m=1}^{\infty} \sum_{n=1}^{\infty} A_m n \sin \frac{m\pi x}{a} \sin \frac{n\pi y}{b};$$

угол α_{xy} сдвига, совершенного элементами OA и OB , определяется из черт. № 4 по формуле $\alpha_{xy} = \frac{\partial w}{\partial x} \cdot \frac{\partial w}{\partial y}$ из этой формулы видно, что сдвиг элементов ^{не} зависит от постоянным по поверхности пластиинки поправочных производные

($\frac{\partial w}{\partial x}$ и $\frac{\partial w}{\partial y}$) от уравнения упругой поверхности пластиинки не являются постоянными величинами. Вот это непостоянство сдвигов в пластиинке вместе с неравномерностью распределения нормальных напряжений и приводит к выражению $P_{t \text{кр}}$ отличным от соответствующего напряжения для бруска, что является одной из причин несовпадения опытного угла « Ψ » волнобразования в статье Знаменского с теоретическим ($\Psi=35^\circ$).

«Увеличение энергии сдвига вследствие выпучивания пластиинки определяется по формуле

$$V_1 = P_t \int_0^a \int_0^b \frac{\partial w}{\partial x} \cdot \frac{\partial w}{\partial y} dx \cdot dy.$$

Энергия изгиба V_2 , получающаяся в результате выпучивания пластиинки определяется по формуле

$$V_2 = \frac{D}{2} \cdot \frac{ab}{4} \sum_{m=1}^{\infty} \sum_{n=1}^{\infty} A_{mn} \left(\frac{m^2 \pi^2}{a^2} + \frac{n^2 \pi^2}{b^2} \right)^2,$$

где D цилиндрическая жесткость пластиинки; из условия $V_1 + V_2 = 0$ определяется выражение для $P_{t \text{кр}}$. (при наименьших значениях коэффициентов A_{mn}), в частности используемое в разработанном здесь примере расчета фюзеляжка аэроплана типа «Монокок» (инж. Винокуров Л.П.).

Расчет фюзеляжа типа «Монокок»

по методу Знаменского

(Разработка статьи Знаменского в ТВФ № 4 за 1934 г.)

Тонкостенная обшивка фюзеляжа типа «Монокок» при действии на нее нагрузок, превышающих какой-то минимум (нагрузки, соответствующие нормальному по-

лему) теряет устойчивость.

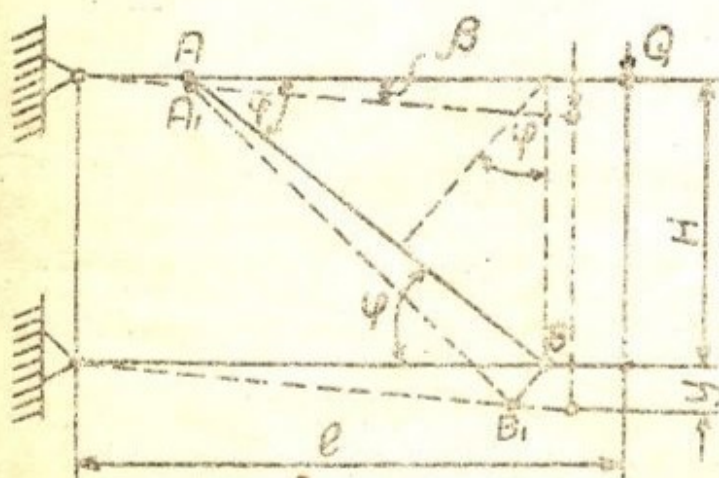
Явление потери устойчивости в тонкостенных оболочках, отлично от того же явления в стержневых конструкциях, где потеря устойчивости одним из стержней ведет к перегрузке остальных и, следовательно, к разрушению всего сооружения.

Тонкостенная оболочка при потере устойчивости, сопровождающейся волнообразованием продолжает нести нагрузку за счет сохранившейся жесткости на растяжение вдоль волны:

Относительно малой жесткостью на сжатие и изгиб волокон поперек волны, автор данного расчета пренебрегает.

Прежде чем перейти непосредственно к расчету фюзеляжа методом Знаменского, рассмотрим отдельно 2 случая работы пластиинки.

Расчет пластиинки



Черт. № 5

I-Случай. Пластиинка (чертеж № 5) толщиною δ работает в пределах устойчивости; тогда величина касательных напряжений выражается формулой:

$$\tau = \frac{QS}{JS} \text{ и абсолютный}$$

$$сдвиг «У» будет \quad u = \frac{Qe}{gR} = \frac{Qe}{g\delta}$$

2 случай. Та же пластинка работает за пределами устойчивости.

На пластинке получится волна и направление ее должно, очевидно, совпадать с направлением наибольших касательных напряжений.

Пусть направление AB — направление волны.

Волокно AB , расположеннное под углом φ к горизонту, после деформации займет положение $A'B'$, получив какое-то удлинение.

Усилие по волне AB должно равняться напряжениям, возникающим на площадке, перпендикулярной направлению AB , помноженным на величину этой площадки (по одну сторону волны (черт. № 5); т.е. усилие = $6 \cdot \delta H \cos \varphi$. (Формула справедлива при условии:

$6 = \cos t$ по длине пластинки).

Очевидно, вертикальная составляющая этого усилия должна равняться нашей передающей силе Q .

$$Q = 6 \cdot \delta \cdot H \cdot \cos \varphi \cdot \sin \varphi.$$

или

$$6 \delta H \frac{\sin 2 \varphi}{2} = Q, \text{ откуда } 6 = \frac{2Q}{\delta H \sin 2 \varphi}. \quad (I')$$

Определим теперь угол сдвига « β », когда пластина теряет устойчивость;

$\operatorname{tg} \beta = \frac{y}{e}$ но виду малости углов считаем

что $\operatorname{tg} \beta \approx \beta = \frac{y}{e}$

Работа, совершенная силой Q , равна $\frac{Qy}{2}$

Потенциальная энергия, накопленная единицей об'ёма пластинки,

равна $\frac{6^2}{2E}$; тогда

полная потенциальная энергия пластиинки $= \frac{6^2 \delta H \cdot \ell}{2E}$
(при условии постоянства напряжения по длине)
где $\delta H \cdot \ell$ - об'ём пластиинки.

Из условия равенства работы внешней силы и потенциальной энергии можно написать:

$$\frac{Q_y}{\ell} = \frac{6^2 \delta \cdot H \cdot \ell}{2E}$$

подставляя значение 6 в ль (1') получаем:

$$\frac{Q_y}{\ell} = \frac{4Q^2 \delta \cdot H \cdot \ell}{2E \delta^2 H^2 \sin^2 2\varphi}$$

сократив получим:

$$y = \frac{4Q\ell}{E \delta H \sin^2 2\varphi} \dots (1''); \quad \beta = \frac{y}{\ell} = \frac{4Q}{E \delta H \sin^2 2\varphi} \dots (2);$$

Расчет круглой тонкостенной трубы.

Рассмотрим три отдельных задачи:

1 задача - весь материал трубы находится в пределах устойчивости

2 задача - весь материал трубы находится за пределами устойчивости.

3 задача - материал работает позонам.

Задача 1² - черт. № 6.

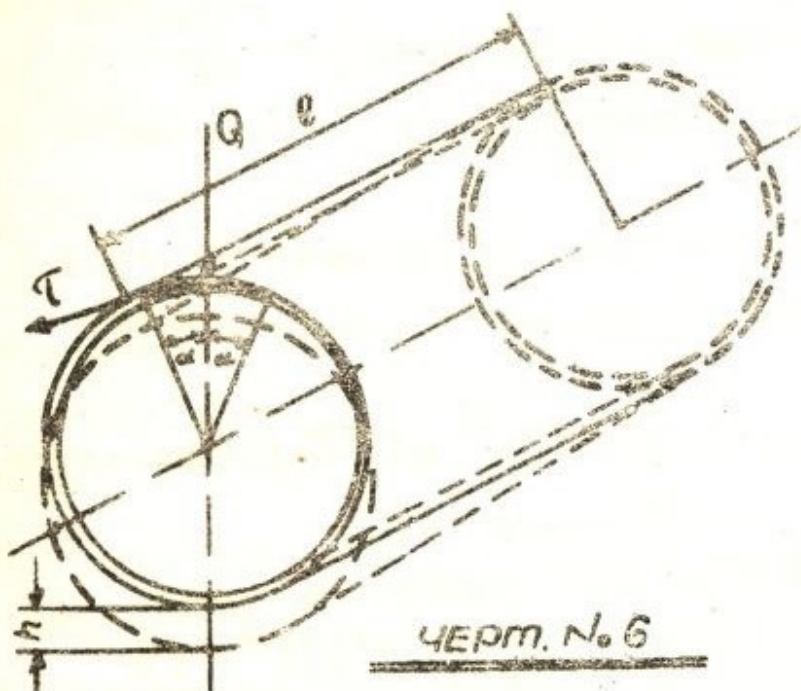
В пределах устойчивости.

$$T = \frac{QS}{J_G}; \text{ для нашего случая}$$

$$B = 2\delta \text{ тогда } T = \frac{QS}{J_{2\delta}}$$

$$S = F \cdot a = 2R \alpha \delta \cdot R \frac{\sin \alpha}{\alpha} = 2\delta R^2 \sin \alpha.$$

$$T = \frac{Q_2 \delta R^2 \sin \alpha}{J \cdot g \delta} = \frac{QR^2 \sin \alpha}{J} \dots (4)$$



δ - находится как расстояние от центра тяжести площади ограниченной двумя концентрическими дугами до центра кривизны (Черт. № 7) (см. справочник Моряка-плотника изд. ЗГ. стр. 74, где расстояние до центра тяжести

$$a = OS = 38,197 \frac{(R^3 - r^3) \sin \alpha}{(R^2 - r^2) \alpha^\circ} = 38,197 \frac{(R-r)(R^2 + Rr + r^2) \sin \alpha}{(R-r)(R+r) \alpha}$$

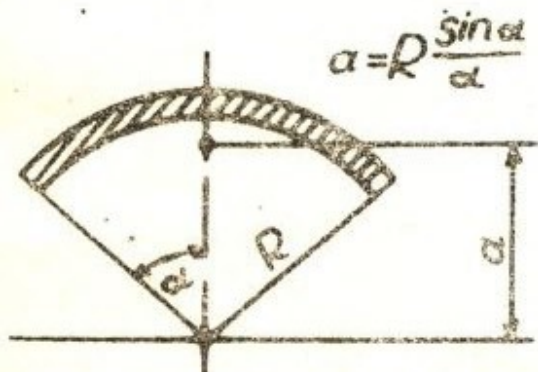
Считая, при малых, « δ », $R \approx r \approx R_{cp}$,

имеем: $a = OS = 38,197 \frac{R_{cp}^2 \sin \alpha}{R_{cp} \alpha^\circ}$;

где α выражен в градусах;

если α выразим в радианах то:

$$a = OS = R \frac{\sin \alpha}{\alpha};)$$



ЧЕРТ. № 7.

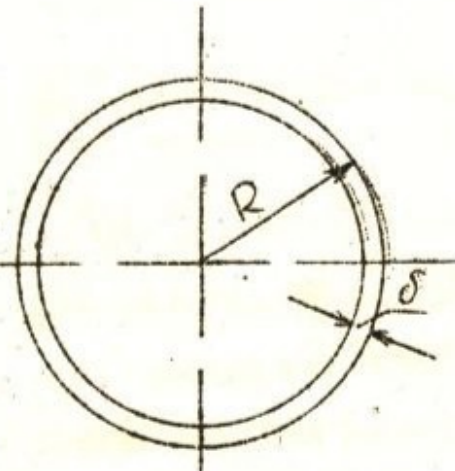
Работа внешней силы равная $\frac{Qh}{2}$ (см. Черт. № 6) должна равняться потенциальной энергии сдвига, накопленной системой, равной $U \cdot \ell$, где U - потенциальная энергия, накопленная единицей длины.

Если удельная потенц. энергия при сдвиге $W = \frac{q^2}{2G}$, то

$$dU = \frac{\tau^2}{2G} \cdot \delta R \cdot d\alpha \cdot 1. \quad U = 4 \int_0^{\pi/2} \frac{\tau^2}{2G} \delta R \cdot d\alpha.$$

Подставляя значение τ из формулы (7) получим

$$U = 4 \int_0^{\pi/2} \frac{Q^2 R^4 \sin^2 \alpha \cdot \delta \cdot R \cdot d\alpha}{J^2 \cdot 2G};$$



ЧЕРТ. № 8

Входящий в формулу момент инерции « J », выразим в функции размешов R и δ ;

Имеем: $J_P = 2\pi R \delta \cdot R^2 = 2\pi R^3 \delta$. (примерно) (черт. № 8)

Иначе это можно доказать так:

$$\begin{aligned} J_P &= \frac{\pi(R^4 - r^4)}{2} = \frac{\pi(R^2 - r^2)(R^2 + r^2)}{2} = \\ &= \frac{\pi(R - r)(R + r)(R^2 + r^2)}{2} \end{aligned}$$

При $R \approx r = R_{cp}$.

$$J_P = \frac{\pi \cdot \delta \cdot 2 R_{cp} \cdot 2 R_{cp}^2}{2} = 2\pi \delta R_{cp}^3$$

$$J = \frac{J_P}{2} = \pi R^3 \delta$$

$$\text{подставляем: } U = 4 \int_0^{\pi/2} \frac{Q^2 R^4 \sin^2 \alpha \delta R d\alpha}{2\pi \delta R^2 \cdot 2\pi R^3 \delta^2} = \frac{4Q^2}{2\pi^2 R \delta G} \int_0^{\pi/2} \sin^2 \alpha \cdot d\alpha.$$

$$\text{тогда } \frac{Qh}{2} = \frac{4Q^2 \ell}{2\pi^2 R \delta G} \int_0^{\pi/2} \sin^2 \alpha \cdot d\alpha$$

$$h = \frac{4Q\ell}{\pi^2 R \delta G} \int_0^{\pi/2} \sin^2 \alpha \cdot d\alpha = \frac{4Q\ell}{\pi^2 R \delta G} \int_0^{\pi/2} \frac{1 - \cos 2\alpha}{2} d\alpha$$

$$h = \frac{4Ql}{\pi^2 R \delta G} \left| \frac{\alpha}{2} - \frac{1}{2} \frac{\sin 2\alpha}{2} \right|^{-12} \frac{\pi}{2} = \frac{4Ql}{\pi^2 R \delta G} \left| \frac{1}{4} (2\alpha - \sin 2\alpha) \right| = \frac{4Ql\pi}{\pi^2 R \delta G \cdot 4}$$

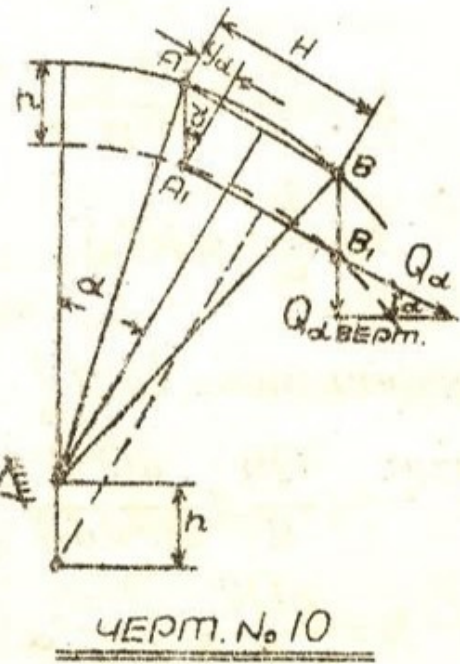
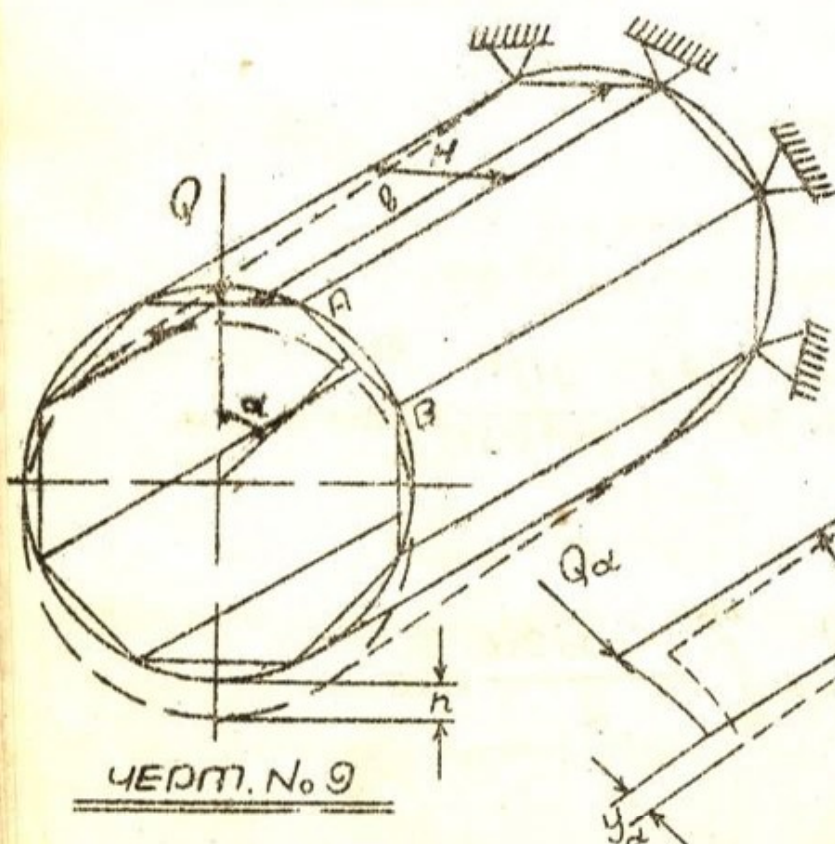
окончательно: $h = \frac{Ql}{\pi \cdot R \cdot G \cdot \delta} ; \dots (6)$

ЗАДАЧА № 2

Считаем, что вся труба работает за пределами устойчивости.

При перемещении трубы на величину « h » грань АВ займет положение A_1B_1 (черт. № № 9 и 10) Перемещение можно рассматривать как сложное, состоящее из двух: возврата относительно оси // АВ и сдвига вдоль АВ. Из черт. № 10 величина сдвига $y = h \cdot \sin \alpha$. Из формулы (1').

$$y = \frac{4Q\alpha \cdot l}{E \delta H \sin^2 \varphi} = h \sin \alpha; \quad Q_\alpha = \frac{\delta \cdot h \sin \alpha E H \sin^2 \varphi \varphi}{4l} \dots (7).$$



При бесконечно-большем числе граней, каждую грань (длиной dH) можно рассматривать как дугу:

$dH = R d\alpha$; тогда элементарная сила

$$dQ_\alpha = \frac{h \sin \alpha E \delta R d\alpha \sin^2 2\varphi}{4l}$$

Вертикальная составляющая силы dQ_α равна $dQ_\alpha \sin \alpha$

$$dQ_{\alpha \text{ верт.}} = \frac{h E \delta R \sin^2 2\varphi \sin^2 \alpha \cdot d\alpha}{4l}$$

Сумма всех вертикальных составляющих ($dQ_{\alpha \text{ верт.}}$) должна равняться внешней передаваемой силе Q

$$Q = 4 \int_0^{\pi/2} dQ_{\alpha \text{ верт.}} = \frac{4 E \delta R h \sin^2 2\varphi \pi}{4l \cdot 4} = \frac{E \delta \pi R h \sin^2 2\varphi}{4l}$$

$$\text{откуда } h = \frac{4Ql}{\pi \cdot E \delta R \sin^2 2\varphi} \dots (8)$$

$$G_\alpha = \frac{e Q_\alpha}{\delta H \sin 2\varphi} \text{ из формулы (1)}$$

Подставляем значение Q_α из ф-лы (7)

$$\text{тогда } G_\alpha = \frac{2 \cdot h \sin \alpha E \cdot \delta H \cdot \sin^2 2\varphi}{4l \delta H \sin 2\varphi} = \frac{h E \sin 2\varphi \sin \alpha}{2l}$$

Подставляя вместо h его значение ф-лы (8) получим

$$G_\alpha = \frac{2 \sin \alpha E \delta H \sin^2 2\varphi \cdot 4Ql}{4l \delta H \sin 2\varphi \pi E \delta R \sin^2 2\varphi} = \frac{2 Q \sin \alpha}{\pi \delta R \sin 2\varphi} \dots (10)$$

Задача 3. Материал работает по зонам (верхн. и нижн. части трубы в пределах устойчивости, боковые части - за пределами устойчивости).

$\bar{\alpha}$ - угол стыка зон (Черт. № II)

$$Q = 4 \left[\int_0^{\bar{\alpha}} T_{\text{верт.}} \delta R d\alpha + \int_{\bar{\alpha}}^{\pi/2} dQ_{\text{верт.}} \right],$$

так как в точке стыка зон разрывов нет, то

$$y_\alpha = h \sin \alpha;$$

$\beta = \frac{y_\alpha}{l}$; известно, что напряжения при сдвиге равны относительному сдвигу (β) помноженному на модуль (g) т.е.

$$T = \beta g = \frac{y_\alpha}{l} g = \frac{h \sin \alpha}{l} g$$

(доказать это можно еще следующим образом:

$$T = \frac{QR^2 \sin \alpha}{J} \quad (\text{ср-лн 4}) \quad J = \pi R^3 \delta$$

$$T = \frac{QR^2 \sin \alpha}{\pi \cdot R^3 \delta} = \frac{Q \sin \alpha}{\pi \cdot R \cdot \delta}; \text{ определяем } Q \text{ из ср-лы (6)}$$

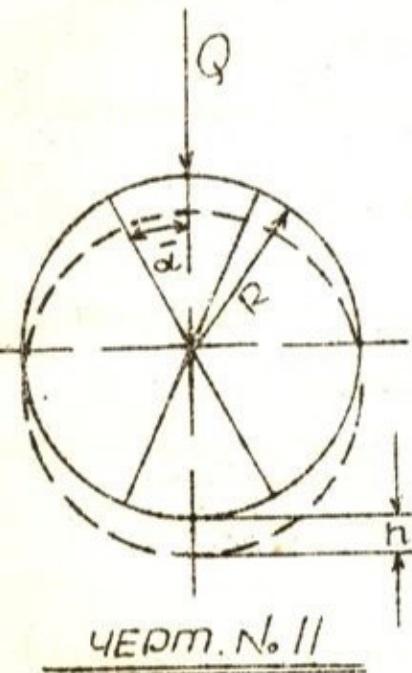
$$Q = \frac{h \pi \cdot R \cdot g \cdot \delta}{l} \text{ и подставляем это значение в выражение}$$

$$\text{для } T; \text{ тогда } T = \frac{h \pi \cdot R \cdot g \cdot \delta \cdot \sin \alpha}{\pi R \cdot \delta \cdot l} = \frac{h \sin \alpha}{l} g)$$

$$T_{\text{верт.}} = T \cdot \sin \alpha$$

Рассмотрим отдельно 1° интеграл.

$$\int_0^{\bar{\alpha}} T_{\text{верт.}} dF = \int_0^{\bar{\alpha}} T_b \cdot \delta \cdot R d\alpha = \int_0^{\bar{\alpha}} \frac{hg}{l} \delta R \sin^2 \alpha d\alpha = \frac{hg \delta R}{4l} (2\bar{\alpha} - \sin 2\bar{\alpha})$$



Отдельно 2^й интеграл.

$\int_{\bar{\alpha}}^{\frac{\pi}{2}} dQ_{\text{верт.}}$ подставляя значения $dQ_{\text{верт.}}$, получим:

$$\int_{\bar{\alpha}}^{\frac{\pi}{2}} dQ_{\text{верт.}} = \int_{\bar{\alpha}}^{\frac{\pi}{2}} \frac{E\delta Rh \sin^2 2\varphi \sin^2 \alpha \cdot d\alpha}{4\ell} =$$

$$= \frac{E\delta Rh \sin^2 2\varphi}{4\ell \cdot 4} [\pi - (2\bar{\alpha} - \sin 2\bar{\alpha})]$$

$$Q = 4 \left[\int_{\bar{\alpha}}^{\bar{\alpha}} T_{\text{верт.}} dF + \int_{\bar{\alpha}}^{\frac{\pi}{2}} dQ_{\text{верт.}} \right] = 4 \left\{ \left[\frac{hg\delta R}{4\ell} (2\bar{\alpha} - \sin 2\bar{\alpha}) + \right. \right. \\ \left. \left. + \frac{E\delta Rh \sin^2 2\varphi}{4\ell \cdot 4} [\pi - (2\bar{\alpha} - \sin 2\bar{\alpha})] \right] \right\} = \\ = \frac{hR\delta}{\ell} \left[(2\bar{\alpha} - \sin 2\bar{\alpha}) \left(g - \frac{E \sin^2 2\varphi}{4} \right) + \frac{\pi E \sin^2 2\varphi}{4} \right] \text{ откуда}$$

$$h = \frac{Q\ell}{R\delta \left[\left(g - \frac{E \sin^2 2\varphi}{4} \right) (2\bar{\alpha} - \sin 2\bar{\alpha}) + \frac{\pi E \sin^2 2\varphi}{4} \right]} \quad \dots \dots (II)$$

если $\bar{\alpha} = \frac{\pi}{2}$, что означает, что вся труба находится в пределах устойчивости,

$$\text{то } h = \frac{Q\ell}{R\delta \left[\left(g - \frac{E \sin^2 2\varphi}{4} \right) (\pi - 0) + \frac{\pi E \sin^2 2\varphi}{4} \right]} = \\ = \frac{Q\ell}{R\delta \left(\pi g - \frac{\pi E \sin^2 2\varphi}{4} + \frac{\pi E \sin^2 2\varphi}{4} \right)} = \underline{\underline{\frac{Q\ell}{\pi g R \delta}}}$$

т.е. мы получаем уже известную формулу (6).

Аналогично, когда $\bar{\alpha} = 0$, т.е. когда весь материал трубы находится за пределами устойчивости,

$$h = \frac{4Q\theta}{\delta R \pi E \sin^2 2\varphi} \quad \text{т.е. получим ф-лы (8)}$$

16

Раньше мы уже писали, что $T_\alpha = \frac{hg}{\ell} \sin \alpha$;

подставляя значение h из ф-лы (11) получим

$$T_\alpha = \frac{Q \ell g \sin \alpha}{\ell R \delta \left[(2\bar{\alpha} - \sin 2\bar{\alpha}) \left(g - \frac{E \sin^2 2\varphi}{4} \right) + \frac{\pi E \sin^2 2\varphi}{4} \right]};$$

$$T_\alpha = \frac{Q g \sin \alpha}{R \delta \left[(2\bar{\alpha} - \sin 2\bar{\alpha}) \left(g - \frac{E \sin^2 2\varphi}{4} \right) + \frac{\pi E \sin^2 2\varphi}{4} \right]} \quad \dots (12)$$

При выводе формулы (10) мы имели, что

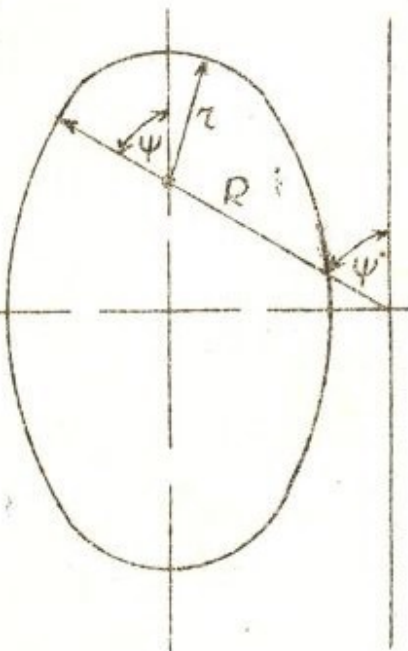
$$\hat{\sigma} = \frac{E h \sin 2\varphi \sin \alpha}{2\ell}$$

подставляя значение h из ф-лы (11) получим:

$$\hat{\sigma} = \frac{E \sin 2\varphi \cdot \sin \alpha \cdot Q \cdot \ell}{2\ell \delta R \left[(2\bar{\alpha} - \sin 2\bar{\alpha}) \left(g - \frac{E \sin^2 2\varphi}{4} \right) + \frac{\pi E \sin^2 2\varphi}{4} \right]};$$

$$\hat{\sigma} = \frac{QE \sin 2\varphi \sin \alpha}{2R \delta \left[(2\bar{\alpha} - \sin 2\bar{\alpha}) \left(g - \frac{E \sin^2 2\varphi}{4} \right) + \frac{\pi E \sin^2 2\varphi}{4} \right]} \quad \dots (14)$$

До сих пор, все наши выводы были построены для фюзеляжка монокок, имеющего круглое сечение. На практике, в большинстве случаев, сечение фюзеляжа делают не круглым, а овальным - вычерченным двумя радиусами (см. черт. №12). К рассмотрению такого типа фюзеляжка мы переходим. Вводим следующие обозначения γ и R радиусы построений овала.



ЧЕРТ. № 12

ψ - угол сопряжения радиусов
 α - уголстыка зон (устойчивой и неустойчивой).

Рассмотрим отдельно три случая.

I когда $\alpha = \psi$ (случай вспомогательный)

II когда $\alpha < \psi$

III когда $\alpha > \psi$.

Мы уже имеем для задачи З, когда труба работает по зонам.

$$Q = 4 \left[\int_0^{\alpha} T_{\text{верт.}} dF + \int_{\alpha}^{\pi/2} dQ_{\text{верт.}} \right]$$

если $\alpha = \psi$ (случай I).

$$Q = 4 \left[\int_0^{\alpha} T_{\text{верт.}} \delta \gamma d\alpha + \int_{\alpha}^{\pi/2} dQ_{\text{верт.}} \right]$$

Значение этих интегралов мы уже имели ранее, а потому можем написать сразу, выражая 1^у интеграл в функции «T», а 2^у интеграл в функции «R»

$$\int_0^{\psi} T_{\text{верт.}} dF = \frac{h \delta g_r}{4l} (2\bar{\alpha} - \sin 2\bar{\alpha}) + \dots$$

$$\int_{\alpha=\psi}^{\pi/2} dQ_{\text{верт.}} = \frac{ERh \sin^2 2\psi}{16l} [\pi - (2\bar{\alpha} - \sin 2\bar{\alpha})]$$

$$Q = \left\{ \frac{h \delta g_r}{l} (2\bar{\alpha} - \sin 2\bar{\alpha}) + \frac{ERh \sin^2 2\psi}{4l} [\pi - (2\bar{\alpha} - \sin 2\bar{\alpha})] \right\} =$$

$$= \frac{h \delta}{l} \left[(2\bar{\alpha} - \sin 2\bar{\alpha}) \left(g_r - \frac{ER \sin^2 2\psi}{4} \right) + \left(\frac{\pi E R \sin^2 2\psi}{4} \right) \right] \dots \quad (15)$$

откуда $h = \frac{Ql}{\delta [(2\bar{\alpha} - \sin 2\bar{\alpha})(g_r - \frac{ER \sin^2 2\psi}{4}) + \frac{\pi E R \sin^2 2\psi}{4}]} \quad (16)$

СБОРНИК
ХАРДКОР ИНСТИТУТУЧ

УСТОЙЧИВАЯ ЗОНА

$$\tau = \frac{h\delta}{\ell} \sin \alpha;$$

Подставляя значение τ из ф-лы (16), получим:

$$\tau = \frac{Qg \cdot \sin \alpha}{\delta \left[(2\bar{\alpha} - \sin 2\bar{\alpha}) \left(g_r - \frac{ER \sin^2 2\psi}{4} \right) + \frac{\pi ER \sin^2 2\psi}{4} \right]} \quad \dots (17)$$

НЕУСТОЙЧИВАЯ ЗОНА

$$\theta = \frac{hE \sin 2\psi \sin \alpha}{2\ell};$$

Подставляя значение θ из ф-лы (16), получим:

$$\theta = \frac{QE \sin 2\psi \sin \alpha}{2\delta \left[(2\bar{\alpha} - \sin 2\bar{\alpha}) \left(g_r - \frac{ER \sin^2 2\psi}{4} \right) + \frac{\pi ER \sin^2 2\psi}{4} \right]} \quad \dots (18)$$

2^o случай, когда $\bar{\alpha} < \psi$

В этом случае устойчивая зона ограничена пределами $0 \div \bar{\alpha}$ (первый интеграл-функция « U »); неустойчивая зона имеет 2 части: первую в пределах $\bar{\alpha} \div \psi$ (второй интеграл-функция « U »), и вторую в пределах $\psi \div \frac{\pi}{2}$ (третий интеграл-функция « R »).

$$Q = 4 \left[\int_0^{\bar{\alpha}} \tau_{\text{geom.}} \delta r d\alpha + \int_{\bar{\alpha}}^{\psi} \frac{dQ_{\text{верт.}}}{f(r)} \int_r^{\frac{\pi}{2}} \frac{dQ_{\text{верт.}}}{f(R)} \right]$$

$$Q = \frac{h\delta\tau}{\ell} (2\bar{\alpha} - \sin 2\bar{\alpha}) + \frac{E\delta\tau h \sin^2 2\psi}{4\ell} [(2\psi - \sin 2\psi) - (2\bar{\alpha} - \sin 2\bar{\alpha})] + \\ + \frac{h\delta ER \sin^2 2\psi}{4\ell} [\pi - (2\psi - \sin 2\psi)]$$

$$Q = \frac{h\delta}{\rho} \left\{ r \left[(2\bar{\alpha} - \sin 2\bar{\alpha}) \left(g - \frac{E \sin^2 2\psi}{4} \right) \right] + \frac{E \sin^2 2\psi}{4} \left[(2\psi - \sin 2\psi)(r - R) + \pi R \right] \right\}$$

откуда:

$$h = \frac{Ql}{\delta \left\{ r \left[(2\bar{\alpha} - \sin 2\bar{\alpha}) \left(g - \frac{E \sin^2 2\psi}{4} \right) \right] + \frac{E \sin^2 2\psi}{4} \left[(2\psi - \sin 2\psi)(r - R) + \pi R \right] \right\}}$$

устойчивая зона

$$\zeta = \frac{Qg \sin \alpha}{\delta \left\{ r \left[(2\bar{\alpha} - \sin 2\bar{\alpha}) \left(g - \frac{E \sin^2 2\psi}{4} \right) \right] + \frac{E \sin^2 2\psi}{4} \left[(2\psi - \sin 2\psi)(r - R) + \pi R \right] \right\}} \quad \dots (19)$$

неустойчивая зона

$$\zeta = \frac{QE \sin 2\psi \sin \alpha}{\delta \left\{ r \left[(2\bar{\alpha} - \sin 2\bar{\alpha}) \left(g - \frac{E \sin^2 2\psi}{4} \right) \right] + \frac{E \sin^2 2\psi}{4} \left[(2\psi - \sin 2\psi)(r - R) + \pi R \right] \right\}} \quad \dots (20)$$

3º случай $\bar{\alpha} > \psi$

аналогично

$$\begin{aligned} Q &= 4 \left[\int_{T_{\text{верт}}}^{\varphi} \delta r d\alpha + \int_{T_{\text{верт}}}^{\alpha} \delta R d\alpha + \int_{\alpha}^{\pi/2} \frac{dQ_{\text{верт}}}{f(R)} = \right. \\ &= 4 \left\{ \frac{hg\delta r}{4\ell} (2\psi - \sin 2\psi) + \frac{hg\delta R}{4\ell} \left[(2\bar{\alpha} - \sin 2\bar{\alpha}) - (2\psi - \sin 2\psi) \right] + \frac{E\delta Rh \sin^2 2\psi}{160} \left[\frac{1}{\sin(2\bar{\alpha} - \sin 2\bar{\alpha})} \right] \right\} = \\ &= \frac{h\delta}{\ell} \left[g(R - r)(\sin 2\psi - 2\psi) + R \left(g - \frac{E \sin^2 2\psi}{4} \right) (2\bar{\alpha} - \sin 2\bar{\alpha}) + \frac{\pi R E \sin^2 2\psi}{4} \right]; \end{aligned}$$

откуда

$$h = \frac{Ql}{\delta \left[R \left(g - \frac{E \sin^2 2\psi}{4} \right) (2\bar{\alpha} - \sin 2\bar{\alpha}) + \frac{\pi R E \sin^2 2\psi}{4} + g(r + R)(2\psi - \sin 2\psi) \right]}$$

УСТОЙЧИВАЯ ЗОНА

$$\mathcal{T} = \frac{Qg \sin \alpha}{\delta \left[R \left(g - \frac{E \sin^2 2\psi}{4} \right) (2\bar{\alpha} - \sin 2\bar{\alpha}) + \frac{\pi R E \sin^2 2\psi}{4} + g(r-R)(2\psi - \sin 2\psi) \right]} \quad (21)$$

НЕУСТОЙЧИВАЯ ЗОНА

$$\mathcal{G} = \frac{QE \sin 2\psi \sin \alpha}{2\delta \left[R \left(g - \frac{E \sin^2 2\psi}{4} \right) (2\bar{\alpha} - \sin 2\bar{\alpha}) + \frac{\pi R E \sin^2 2\psi}{4} + g(r-R)(2\psi - \sin 2\psi) \right]} \quad (22)$$

В ПРАКТИЧЕСКИХ СЛУЧАЯХ ПРИХОДИТСЯ ИМЕТЬ ДЕЛО С ФЮЗЕЛЯЖАМИ ОВАЛЬНОГО ТИПА ДЛЯ КОТОРЫХ ВЫВЕДЕНЫ ФОРМУЛЫ ЗНАЧЕНИЙ \mathcal{T} И \mathcal{G} (17, 18, 19, 20, 21 И 22) В ЗАВИСИМОСТИ ОТ ТОГО, В ЗОНЕ КАКОГО РАДИУСА ТЕРЯЕТ ОБЩИВКА УСТОЙЧИВОСТЬ. (ПРАКТИЧЕСКИ ПРИМЕНЯНИИМ ФОРМУЛАМИ ЯВЛЯЮТСЯ 19, 20, 21 И 22 (СЛУЧАЙ 2 И 3)).

СЛУЧАЙ 1 СЛЕДУЕТ РАССМАТРИВАТЬ ЛИШЬ КАК ВСПОМОГАТЕЛЬНЫЙ ПРИ ВЫВОДЕ). ПЕРЕД ТЕМ КАК ПЕРЕЙТИ К ПРАКТИЧЕСКОМУ РАСЧЕТУ ОБРАТИМ ВНИМАНИЕ НА СЛЕДУЮЩЕЕ:

1) Обозначения в формулах этой работы не совпадают с обозначениями принятыми в статье Знаменского, что сделано с целью внести большую ясность в обозначениях.

Нумерация формул совпадает с нумерацией статьи.

2) Угол стыка зон обозначен через δ , а через α обозначен угол соответствующий точке, в которой мы ищем \mathcal{T} или \mathcal{G} .

Таким образом, если мы хотим найти критическое напряжение, которое будет в месте стыка зон, то необходимо в ф-лы 19 и 21 вместо $\sin \alpha$ подставить значение

и $\sin \tilde{\alpha}$, и ф-лы (19 и 21) примут вид:

$$\frac{T}{\text{крит.}} = \frac{Qg \sin \tilde{\alpha}}{\delta \left\{ \gamma \left[(\epsilon \tilde{\alpha} - \sin 2\tilde{\alpha}) \left(g - \frac{E \sin^2 \epsilon \psi}{4} \right) \right] + \frac{E \sin^2 \epsilon \psi}{4} \left[(\epsilon \psi - \sin 2\psi)(r - R) + \pi R \right] \right\}} \quad (19')$$

$$\frac{T}{\text{крит.}} = \frac{Qg \sin \tilde{\alpha}}{\delta \left[R \left(g - \frac{E \sin^2 \epsilon \psi}{4} \right) (\epsilon \tilde{\alpha} - \sin 2\tilde{\alpha}) + \frac{\pi R E \sin^2 \epsilon \psi}{4} + g(r - R)(\epsilon \psi - \sin 2\psi) \right]} \quad (21')$$

$$\text{где } \frac{T}{\text{крит.}} = K \frac{\pi^2 E \delta^2}{120 \epsilon^2 (1 - \mu^2)} ; \dots \quad (23)$$

для изотропного материала (для фанерной обшивки, см. ниже «Примерный расчет»).

μ - коэф. Пуассона

b - расстояние между стрингерами

K - Коэф. который находится в зависимости от отношения $\frac{\rho}{b}$ где

ρ - расстояние между шпангоутами (см. Тимошенко Сопр. Матер. ч. II стр. 215 табл. 22).

Следовательно, имея две расчетные формулы (19') и (21'), мы всегда можем определить угол, определяющий место стыка устойчивой и неустойчивой зон.

Проще всего, эти уравнения решать методом постепенного приближения. Но, прежде чем перейти к определению зоны с потерянной устойчивостью, необходимо определить минимально необходимую толщину обшивки фюзеляжа δ .

Исходя из таких условий: При нормальном полете самолета (коэф. перегрузки $\Pi \approx 2$) фюзеляж самолета должен быть полностью устойчив т.е. $\tilde{\alpha}$ должно равняться $\frac{\pi}{2}$;

(Обусловлено требованиями:

1). Минимального лобового сопротивления

2). Увеличения срока амортизации материала
(устойчивость).

Подставляя в формулу (21) вместо $\bar{\alpha}$, $\frac{\pi}{2}$ и, вместо $T_{\text{крит.}}$ его значение из формулы (23) получим уравнение вида.

$$\Delta \delta = \frac{B}{\delta} \quad \text{откуда находим.}$$

$$\delta^3 = C \quad \text{и} \quad \delta = \sqrt[3]{C} \quad (\text{см. примерный расчет}).$$

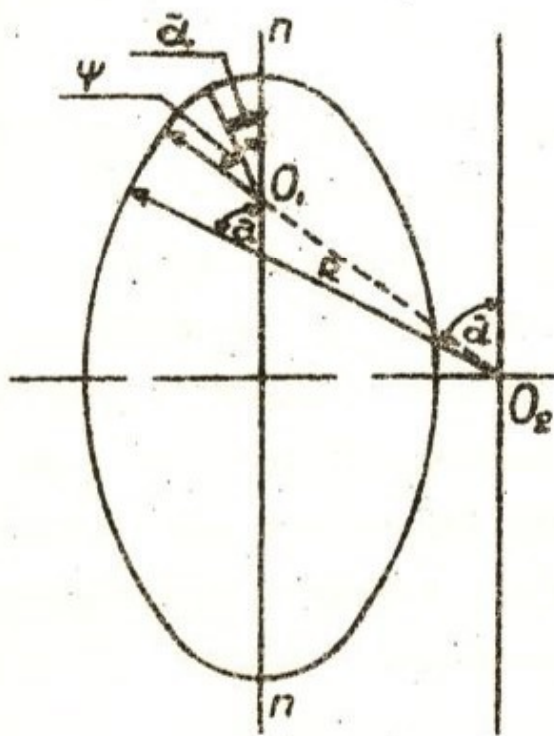
Определив толщину обшивки, приступаем к расчету фюзеляжа на расчетную перерезывающую силу Q .

Подставляем в любую из формул 19' или 21' $\bar{\alpha} = \Psi$ и если полученное значение T будет меньше $T_{\text{крит.}}$ подсчитанного по формуле 23, то зона малого радиуса будет целиком устойчива и подбирая дальнейшие значения $\bar{\alpha}$ следует подставлять их в ф-лу (21'). Если же значение T , при $\bar{\alpha} = \Psi$, будет больше $T_{\text{крит.}}$, то зона малого радиуса неустойчива и значения $\bar{\alpha}$, при дальнейшем подборе, следует подставлять в ф-лу (19').

3) В теоретических подсчетах угол волнообразования Ψ принимает равным 45° , практически же этот угол равен $30-35^\circ$, за счет неизотропности материала влияния закрепления пластинки по контуру и неравномерного распределения напряжений по сечению пластиинки (см. вводную часть).

Если в формулы (19') и (21') подставить вместо теоретического угла волнообразования $\Psi = 45^\circ$ практический угол $\Psi = 30-35^\circ$, то мы увидим что потеря устойчивости наступит раньше (см. примерный расчет).

4) Кстати заметим, что 1) за длину « R » в формулах Знаменского и настоящей работы принимать расстояние между шпангоутами и 2) Отсчет угла α в зоне малого радиуса производится от точки O_1 - в зоне большого радиуса от точки O_2 .



Следует заметить, что в том и другом случае угол α может быть определен как угол между направлением радиуса (R или r) и Осью п-п. (чертеж № 13).

Формулы (20) и (22) служат для определения величины нормальных напряжений в зонах потерявших устойчивость. Напряжения эти не должны превышать допустимых на прочность для данного материала.

Черт. № 13

КРУЧЕНИЕ

По Бремлю $\frac{\tau}{E} = \frac{M_{\text{кру}}}{{2\delta F}_{\text{конт}}}$

Эта формула справедлива до тех пор пока обшивка не потеряла устойчивости. В случае потери устойчивости, в обшивке возникают уже нормальные напряжения σ .

Вывод формулы для определения значения \bar{G} будет аналогичным выводу формулы Бюргерса в пределах устойчивости.

Разбивая цилиндр на отдельные грани получим:

$$Q_\alpha = \frac{M_{K\alpha}}{R}$$

Мы уже имели (ф-ла 1')

$$\bar{G}_\alpha = \frac{2Q_\alpha}{\delta \cdot H \sin 2\varphi}$$

откуда $Q_\alpha = \bar{G}_\alpha \delta \cdot H \frac{\sin 2\varphi}{2}$

При бесконечно большем числе граней, на каждую грань действует сила dQ_α . Для определения dQ_α необходимо, вместо перемещения H , взять dH или, что все равно, $Rd\alpha$.

$$dQ_\alpha = \bar{G}_\alpha \delta R d\alpha \frac{\sin 2\varphi}{2};$$

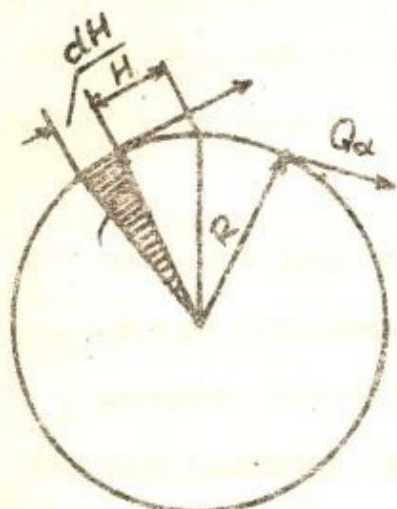
Элементарный момент dM равен

$$dM = R \cdot dQ_\alpha = \bar{G}_\alpha \delta \sin 2\varphi \frac{R \cdot R \cdot d\alpha}{2}$$

Из черт. № 14 видно, что величина $\frac{R \cdot R \cdot d\alpha}{2}$ представляет площадку dF (заштрихован. треугольник) тогда

$$dM = \bar{G}_\alpha \delta \sin 2\varphi dF$$

Очевидно что полный момент будет равен:



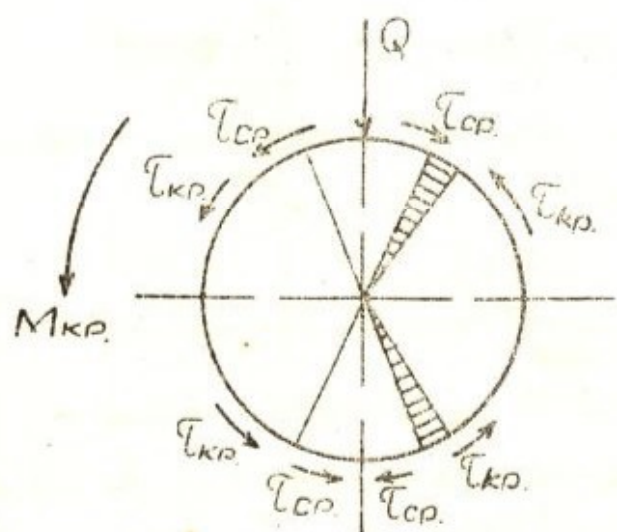
ЧЕРТ. № 14

$M = 6\alpha \delta \sin 2\varphi \cdot F$, где δ - толщина обшивки, φ - угол волнообразования и F - площадь контура.

$$\delta_\alpha = \frac{M_{\text{кр.}}}{\delta F \sin 2\varphi}$$

Метод Знаменского рассматривает отдельно потерю устойчивости от среза и от кручения.

В действительности мы имеем одновременно срез и кручение и потеря устойчивости наступит значительно раньше, чем при раздельном их действии, т.к.



Черт. № 15.

СУММИРОВАНИЕ НАПРЯЖЕНИЙ будеt проиcходит согласно схеме (черт. № 15) и устойчивость левой половины контура будеt потеряна при угле меньшe α . Рассматривать совместное действие двух деформаций по принципу независимости действия сил в системе находящейся на грани устойчивости нельзя.

Для правильного разрешения поставленной задачи необходимо рассматривать систему теряющую устойчивость под влиянием среза и кручения совместно.

Это является темой дальнейшей разработки расчета фюзеляжка типа «Монокок».

Приближенно, при использовании принципа независимости действия сил, задача о напряжениях в обшивке фюзеляжа, потерявшей устойчивость под влиянием совместного действия среза и кручения, может быть решена следующим образом:

При найденном $\bar{\alpha}$ (угле определяющем начало потери устойчивости обшивкой при действии на нее только силы Q), силы (19) и (21) имеют вид

$$\tau_{\text{среза}} = A \sin \alpha, \text{ где } A = \text{const} \text{ для данного сечения фюзеляжа}$$

$$\tau_{\text{круч.}} = \frac{M}{2F\delta} \text{ - постоянно по всему контуру (при } \delta = \text{const).}$$

Суммарное напряжение в любой точке контура, определяемой углом α , находится как

$$\tau_{\text{сумм}} = \tau_{\text{ср.}} + \tau_{\text{круч.}} = A \sin \alpha + \tau_{\text{круч.}}$$

В таком случае точка, в которой обшивка теряет устойчивость при действии на нее срезывающей силы Q и крутящего момента M , определяемая углом $\bar{\alpha}$, может быть найдена подстановкой

$$\tau_{\text{крит.}} = A \sin \bar{\alpha} + \tau_{\text{круч.}} ; \sin \bar{\alpha} = \frac{\tau_{\text{крит.}} - \tau_{\text{круч.}}}{A}$$

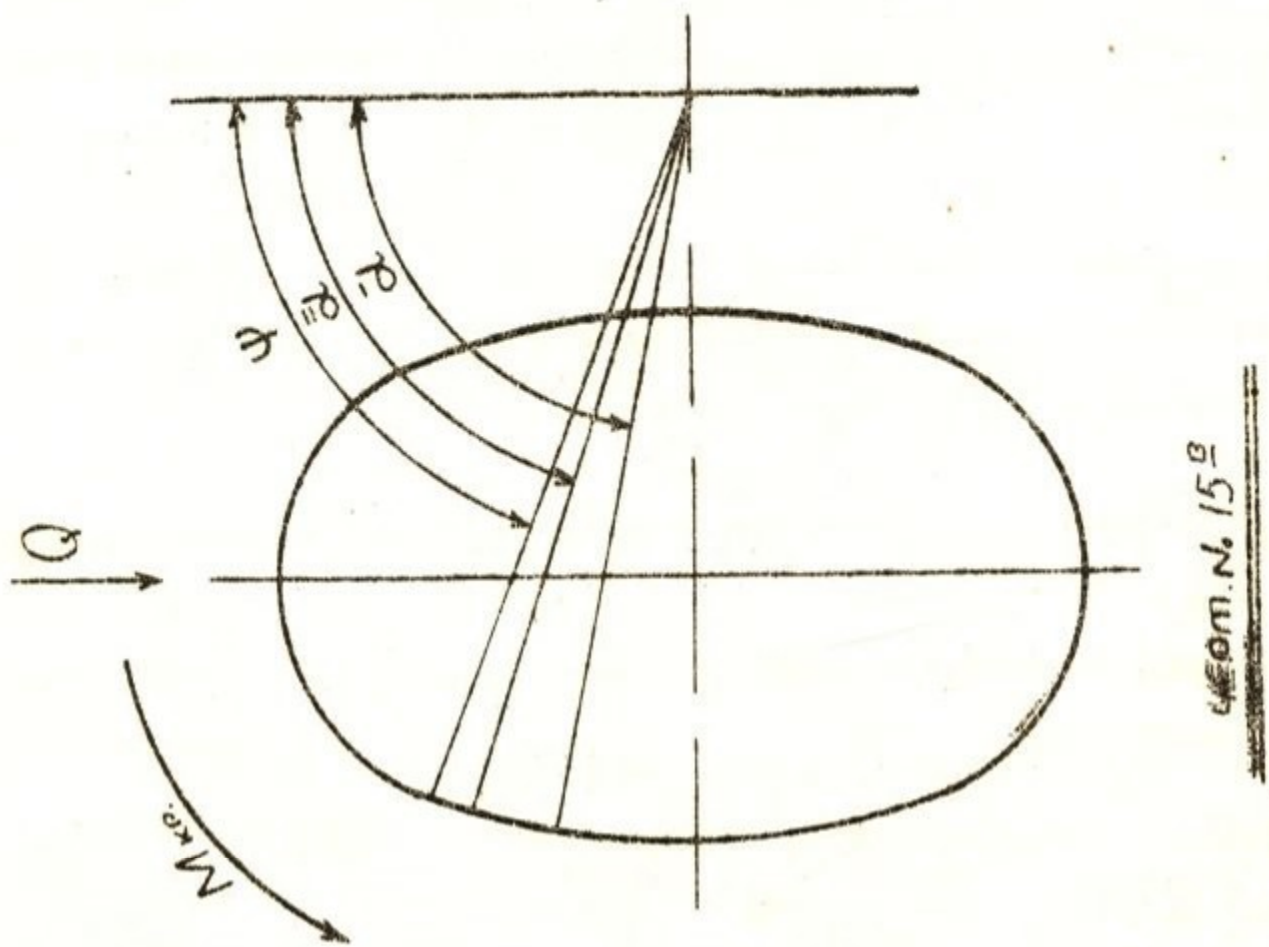
Суммарные нормальные напряжения в устойчивой зоне, находятся как $\sigma_{\text{сумм}} = \sigma_{\text{среза}} + \sigma_{\text{круч.}}$

$$\sigma_{\text{среза}} = B \sin \alpha \text{ (из формул (20) и (22)).}$$

$$\sigma_{\text{сумм}} = B \sin \alpha + \frac{M_{\text{кр.}}}{\delta F \sin 2\psi}$$

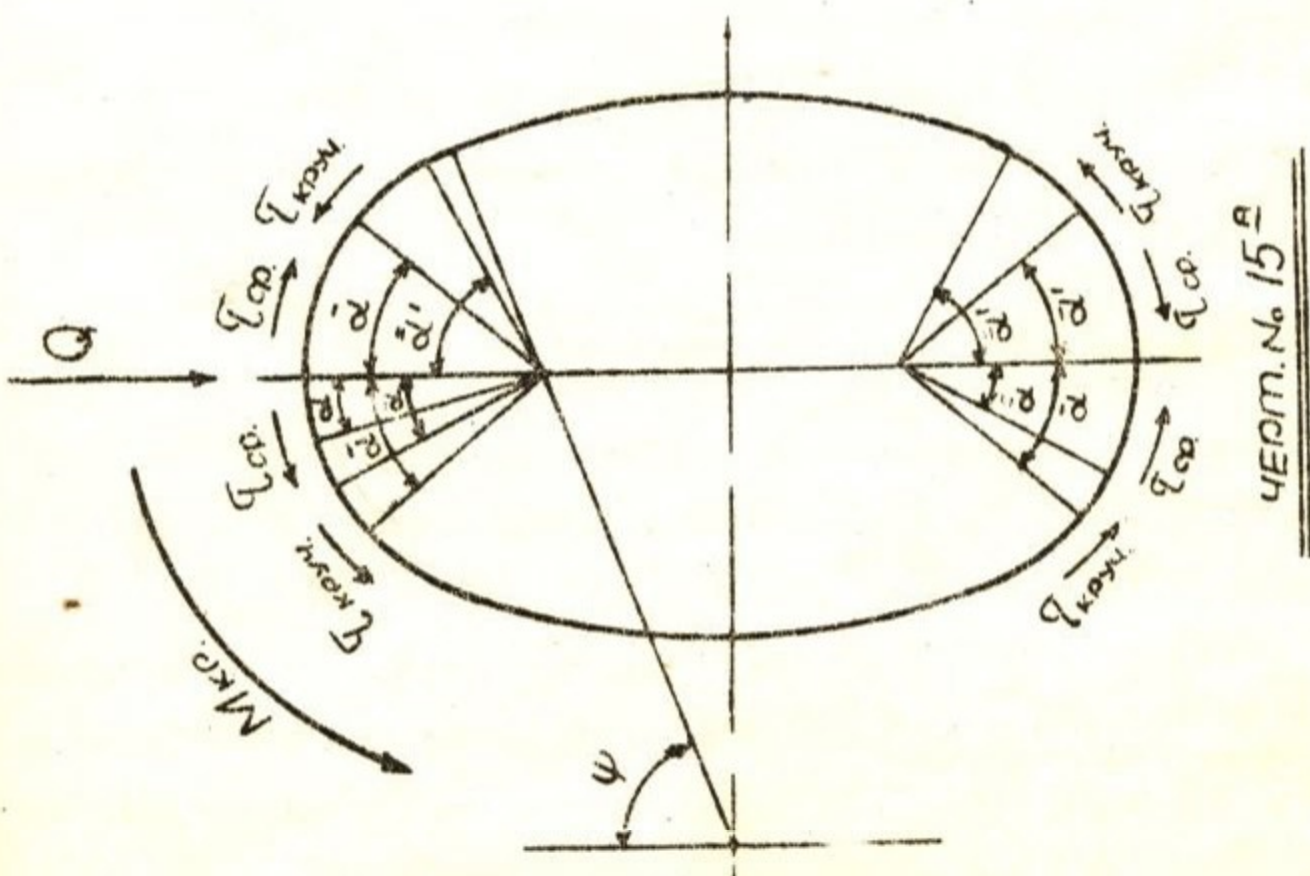
$\sigma_{\text{сумм.так}}$ найдется подстановкой в это ур-ние $\alpha = \frac{\pi}{2}$; оно должно быть меньше допускаемого на прочность для данного материала.

-27-



ЧЕДП. № 15 $\frac{\sigma}{\sigma}$

(к сплошнице 26)



ЧЕДП. № 15 $\frac{\sigma}{\sigma}$

Ф) Примерный расчет

фюзеляжа типа "Монокок" по методу Знаменского
на случай "С"

Расчетные данные

при нормальном горизонтальном полете с чистой перегрузкой $n=2$; $Q=400$ кг (в сечении "пп"). (Черт. 16).

При расчете на случай "С" $Q=950$ кг.

В сечении "пп" у второго лонжерона крыла (см. черт. 16 и 17)

угол сопряжения большого и малого радиусов $\psi=56^{\circ}40'$

Большой радиус $R=1060$ мм.

Малый " " $r=390$ мм.

Расстояние между шпангоутами $\theta=50$ см.

Расположение стрингеров - по черт. 15

По данным американских исследований (Report № 84)

(см. выпуск ЦАГИ № 76 Секретарь Зенькович. "К расчету на устойчивость листа фанеры как анизотропной пластинки" стр. 15%), для высокосортной березовой фанеры

$$E = 1,4 \cdot 10^5 \text{ кг/см}^2$$

$$g = 1,2 \cdot 10^4 \text{ - " - }$$

По данным немецких опытов,

(Генрих Гертель. "Прочность и жесткость деталей самолета на крушение"), проведенных над фанерой после ее эксплуатации в неблагодарных атмосферных условиях,

$$E = 1,2 \cdot 10^5 \text{ кг/см}^2$$

$$g = 1,0 \cdot 10^4 \text{ кг/см}^2$$

т.к. в дальнейшем ходе расчета мы определяем $\sigma_{\text{крит.}}$ для выпуклых элементов обшивки, как для плоских, а цилиндрическая пластинка при действии на нее касательных нап-

пражений работает хуже, чем плоская, %. Опытные данные - см. статью Знаменского, "О расчете фюзеляжа Монокок". Принимаем несколько пониженные данные:

$$E = 10^5 \text{ кг/см}^2$$

$$g = 0,8 \cdot 10^4 \text{ кг/см}^2$$

Ф-ЛР(21')

$$\tilde{\tau}_{kp} = \frac{Qg Snd}{\delta \left\{ R \left(g - \frac{E \sin^2 2\varphi}{4} \right) (2d - 2 \sin 2\bar{\alpha}) + \frac{\pi RE \sin^2 2\varphi}{4} + g (R - r) (S_n 2\psi - 2\varphi) \right\}}$$

Из условия, что весь фюзеляж должен оставаться устойчивым при перегрузке ≈ 2 (- что соответствует силе $Q = 400 \text{ кг}$) - считаем, что $\tilde{\tau}$ может достигать значения $\tilde{\tau}_{kp}$ только при $\bar{\alpha} = \frac{\pi}{2}$. Из этого условия находим толщину b .

$$\tilde{\tau}_{kp} = \frac{400 \cdot 8000 \cdot \sin \frac{\pi}{2}}{\delta \left\{ 106 \left(8000 - \frac{10^5}{4} \right) \pi + \frac{\pi \cdot 106 \cdot 10^5}{4} + 8000 (106 \cdot 39) (0,92 - 1,97) \right\}}$$

$$(\psi = 56^\circ 40'; 2\psi = 113^\circ 20' = \frac{113,3 \pi}{180} \text{ радиан.} = 1,97 \text{ радиана.})$$

$$S_n 113^\circ = \sin 67^\circ = 0,92; \quad \varphi = 45^\circ.$$

$$\begin{aligned} \tilde{\tau}_{kp} &= \frac{32 \cdot 10^5}{\delta \left[106 \left(0,08 \cdot 10^5 - 0,25 \cdot 10^5 \right) \pi + \frac{\pi}{4} 106 \cdot 10^5 - 0,08 \cdot 10^5 (67 \cdot 1,05) \right]} \\ &= \frac{32 \cdot 10^5}{\delta \left(-18 \cdot 10^5 \pi + 79,9 \cdot 10^5 \right)} = \frac{32}{\delta \left(-56,5 + 77,9 \right)} = \frac{32}{21,4 \delta} \end{aligned}$$

$\tilde{\tau}$ крит. для переклейки можно определить, пользуясь кривыми $\tilde{\tau}$ крит. = $f(\beta)$, приведенными на стр. 20 выпускa ЦАГИ № 76 (см. черт. 18 нашего расчета), где $\beta = \frac{d}{b}$, если;

d - длина пластиинки

b - ширина $\sim \sim$

Кривые вычислены для трехслойной фанеры при $E = 1,4 \cdot 10^5$:

Для пересчета на новые условия, следует получить полученные из кривых значения $T_{\text{крит.}}$, помножить

а) при $E' \neq E$, на величину $\frac{E'}{E} = \frac{E'}{1,4 \cdot 10^5}$

в) при $\delta' \neq 0,01 \text{ в}'$, на величину $10^4 \left(\frac{\delta'}{\delta}\right)^2$

Обоснование следующее:

Если E, δ, B - жесткость и размеры пластинки, по испытаниям которой составлены кривые черт. 18, причем $\frac{\delta}{B} = 0,01$; E', δ', B' - жесткость и размеры нашей пластинки, то очевидно, что

$$\frac{T'_{\text{крит}}}{T_{\text{крит}}(\text{из черт. 18})} = \frac{E' \cdot \left(\frac{\delta'}{B'}\right)^2}{E \cdot \left(\frac{\delta}{B}\right)^2} = \frac{E' \cdot \left(\frac{\delta'}{B'}\right)^2}{E \cdot (0,01)^2} = \frac{E'}{E} \cdot 10^4 \left(\frac{\delta'}{B'}\right)^2$$

(см. выпуск ЦАГИ № 76 стр. 19)

На чертежке 18 даны 4 кривые.

I. Соответствует фанерной пластинке с волокнами, в наружных слоях параллельными короткой стороне пластинки.

II соотносится с фанерной пластинке с волокнами, в наружных слоях параллельными длинной стороне.

(Из сравнения устойчивости этих двух пластинок ясно, что фанерную пластинку нельзя считать как изотропную).

а) соответствует изотропной пластинке с модулем упругости $E = 1,4 \cdot 10^5$

в) - соответствует изотропной пластинке с модулем упругости $E_1 = \frac{E}{12} = \frac{1,4 \cdot 10^5}{12}$ (соответственно меньшему модулю упругости фанеры).

Большую частью деревянный фюзеляж типа Монокок выполняется из переклейки шпона, причем наружные слои шпона кладутся (из условия создания гладко-обтекаемого контура фюзеляжа) вдоль оси фюзеляжа.

Т.к. данных испытания переклейки нет, а есть все основания полагать, что переклейка работает не хуже

фанеры, пользуясь для расчета кривыми черт. 18.

При таком расположении шпангоутов как в нашем примере, (что соответствует ряду выполненных конструкций), когда расстояние между шпангоутами (50 см) больше расстояния между стрингерами (33 см), мы должны, при отыскании $\bar{\tau}_{\text{крит}}$, пользоваться кривой (II), т.е. переклейка работает в невыгодных условиях. (Очевидно выгодно: либо выкладывать шпон наружными волокнами поперек фюзеляжа (хуже с точки зрения обтекания), либо в деревянных конструкциях «Монокок» чаще ставить шпангоуты).

Продолжим нахождение необходимой толщины фюзеляжа δ .

$$\bar{\tau}_{\text{крит. для }} \beta = \frac{a}{b} = \frac{\ell}{b} = \frac{50}{33} = 1,52 \quad \text{из кривой (II) черт. 18}$$

$\text{равно } 19 \text{ кг/см}^2$

$$\text{При } E = 10^5, \text{ получим } \bar{\tau}_{\text{крит.}} = 19 \frac{10^5}{1,4 \cdot 10^5} = 13,6 \text{ кг/см}^2$$

$$\text{Это } \bar{\tau}_{\text{крит}} \text{ соответствует } \delta = 0,01b = 0,01 \cdot 33 = 0,33 \text{ см.}$$

Для какой-то другой толщины обшивки, а следовательно другом отношении $\frac{\delta}{b}$ (при том же $b = 33$) будем иметь

$$\bar{\tau}_{\text{крит.}} = 13,6 \cdot 10^4 \left(\frac{\delta}{33} \right)^2 = 13,6 \cdot 10^4 \frac{\delta^2}{33^2} = 125 \delta^2$$

Найденное значение $\bar{\tau}_{\text{крит.}}$ подставляем в ур-ие

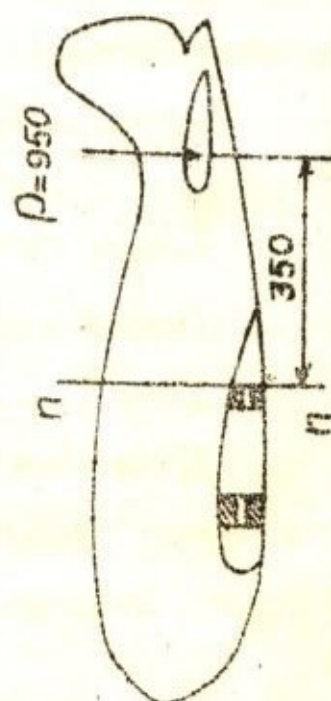
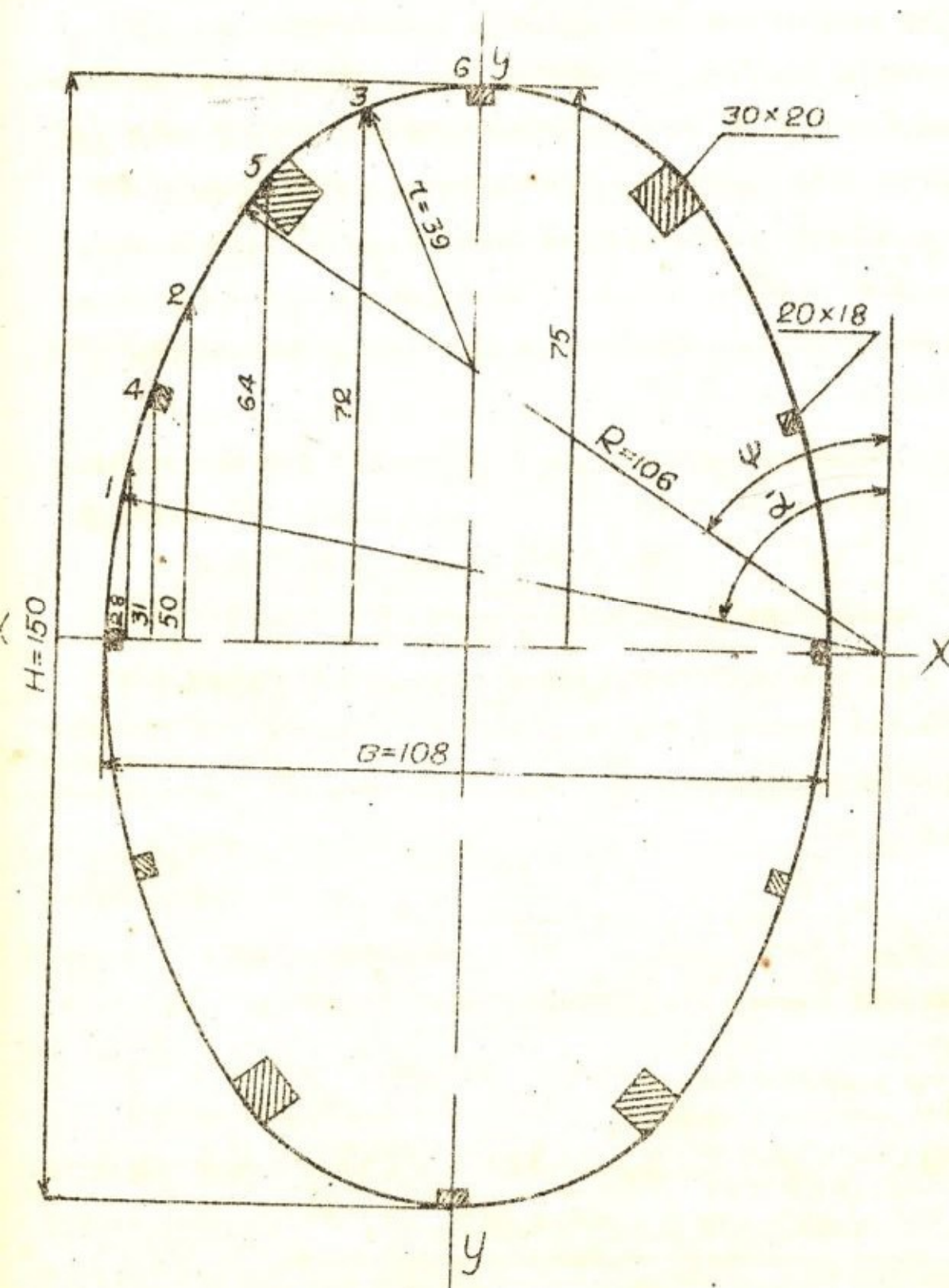
$$\bar{\tau}_{\text{крит.}} = \frac{32}{21,4 \delta}; \text{ получаем:}$$

$$125 \delta^2 = \frac{32}{21,4 \delta} \text{ откуда } \delta^3 = \frac{32}{21,4 \cdot 125} = 0,012$$

$$\delta = \sqrt[3]{0,012} = 0,23 \text{ см.}$$

Принимаем ближайший большой стандартный

32



ЧЕРТ. № 16

ЧЕРТ. № 17

33

РАЗМЕР $\delta = 2,5$ мм.

При этом $T_{kp} = 125 \delta^2 = 125 \cdot 0,25^2 = 7,8 \text{ кг/см}^2$

ОПРЕДЕЛИМ степень погрешности, какую мы имели бы при расчёте тангенциальной силы, как изотропную пластинку. По Тимошенко, для изотропной пластинки мы имели бы:

$$T_{kp\text{чит.}} = K \frac{\pi^2 E \delta^2}{12 B^2 (1-\mu^2)}$$

(применение этой формулы аналогично использованию кривой (а) черт. № 18)

$$\text{При } \frac{a}{B} = \frac{50}{33} = 1,52, K = 6,8$$

$$T_{kp} = 6,8 \frac{\pi^2 10^5 \delta^2}{12 \cdot 33^2 (0,46^2)} = 645 \delta^2$$

($\mu = 0,46$ — см. выпуск ЦАГИ № 76 стр. 15)

Подставляя, получаем:

$$645 \delta^2 = \frac{32}{21,4 \delta}$$

$$\delta^3 = \frac{32}{21,4 \cdot 645} = 0,00232;$$

$$\delta = 0,134 \text{ мм.}$$

т.е. мы могли бы принять $\delta = 1,5$ мм. (вместо 2,5 мм).

Расчет на случай «С».

Расчетная сила $Q = 950$ кг. Не подставляя, предположительно, значение $\delta = \Psi$ предполагаем, что потеря

мкуда:

$$6(0,08 \cdot 10^5 - 0,25 \cdot 10^3)(2\bar{\alpha} - \sin 2\bar{\alpha}) + \pi \cdot 106 \cdot 0,25 \cdot 10^5 - 67 \cdot 1,05 \cdot 0,08 \cdot 10^5 = \\ = \frac{950 \cdot 8000 \cdot \sin \bar{\alpha}}{t_{\text{крит.}}}$$

2,8; 0,25

$$3900000 \sin \bar{\alpha} = 106(-17 \cdot 10^3)(2\bar{\alpha} - \sin 2\bar{\alpha}) + 83,5 \cdot 10^5 - 5,6 \cdot 10^5;$$

$$39 \cdot 10^5 \sin \bar{\alpha} = -18 \cdot 10^5(2\bar{\alpha} - \sin 2\bar{\alpha}) + 83,5 \cdot 10^5 - 5,6 \cdot 10^5;$$

$$39 \sin \bar{\alpha} = -18(2\bar{\alpha} - \sin 2\bar{\alpha}) + 77,9;$$

$$\sin \bar{\alpha} = 2,0 - 0,462(2\bar{\alpha} - \sin 2\bar{\alpha});$$

$$\sin \bar{\alpha} + 0,462(2\bar{\alpha} - \sin 2\bar{\alpha}) = 2,0;$$

даемся $\bar{\alpha} = 78^\circ$

$$2\bar{\alpha} = 156^\circ = \frac{156}{537} = 2,72 \text{ радиана}$$

$$\sin \bar{\alpha} = \sin 78^\circ = 0,978$$

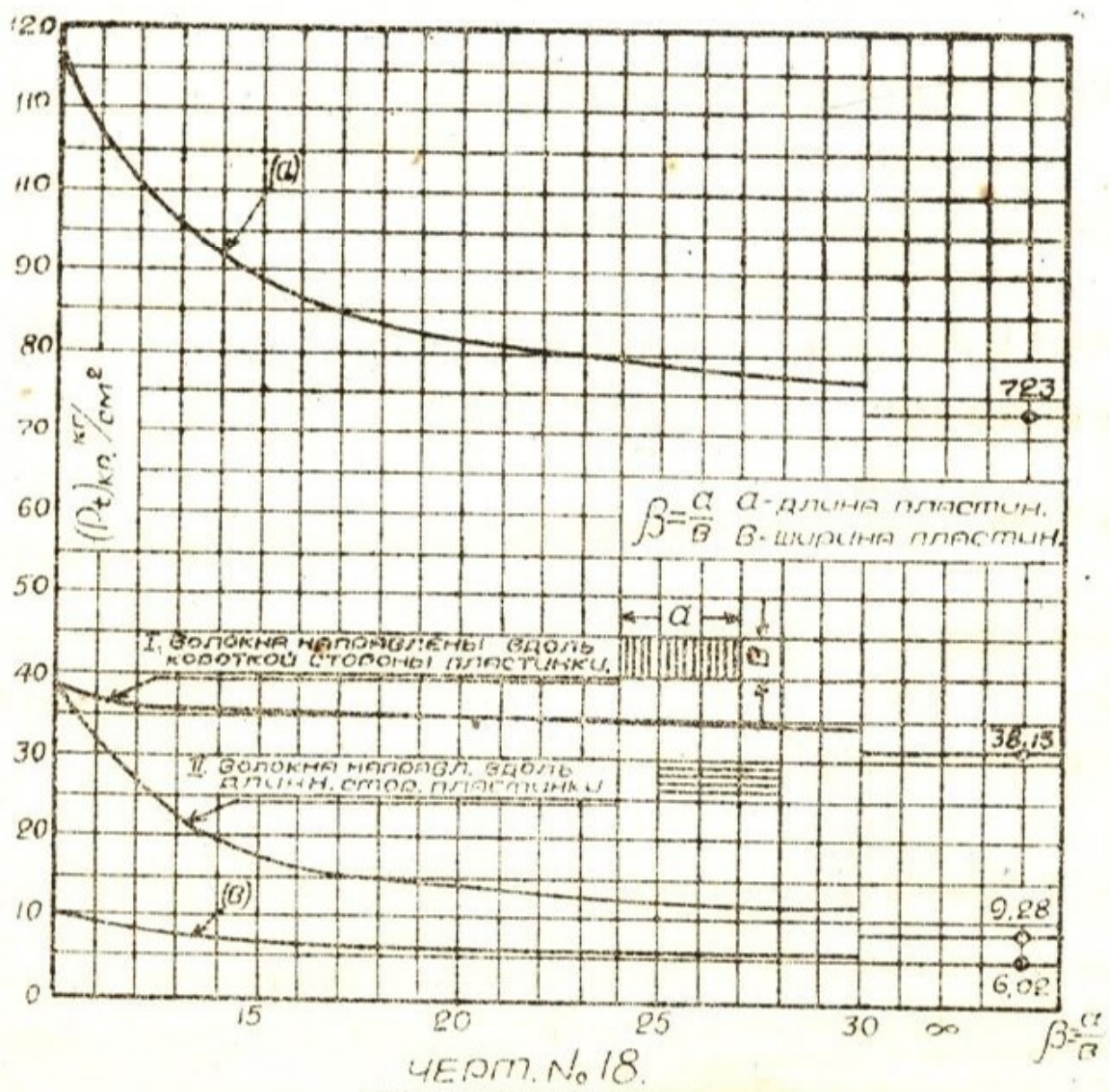
$$\sin 2\bar{\alpha} = \sin 156^\circ = \sin 24^\circ = 0,407$$

$$0,978 + 0,462(2,72 - 0,407) = 0,978 + 0,462 \cdot 2,313 = 2,048 \approx 2,0$$

Е можно принять $\bar{\alpha} = 78^\circ$ (точнее, угол $\bar{\alpha}$ чуть больше 78° ; ибо, если предположить $\bar{\alpha} = 77^\circ$, то получим левую часть равенства, заранее известную, $< 2,0$).

уточчивості наступить в зоне великого радіуса, т.е. $\alpha > \psi$, - а потому і применим відповідно до цьому случаю вр-лу (21'):

$$\begin{aligned} T_{\text{кр}} &= \frac{Qg \sin \alpha}{\delta \left[R \left(g - \frac{E \sin^2 \varrho \psi}{4} \right) (2\alpha - \sin 2\alpha) + \frac{\pi R E \sin^2 \varrho \psi}{4} + g(R-\gamma)(\sin 2\psi - \varrho \psi) \right]} \\ &= \frac{950 \cdot 8000 \cdot \sin \alpha}{0.25 \int 106 \left(8000 - \frac{10^5}{4} \right) (2\alpha - \sin 2\alpha) + \frac{\pi \cdot 106 \cdot 10^5}{4} + 8000(106-39)(0.92-1.97)} \end{aligned}$$



36

Если принять угол волнообразования φ не 45° - теоретический угол волнообразования для изотропной пластины с равномерным распределением напряжений $\alpha = 35^\circ$, каким он практически получается вследствие непостоянства b по длине и (конечно) анизотропности материала - то получим какое-то другое значение $\bar{\alpha}$ (угол сопряжения зон).

Найдением этого угла мы и займемся:

$$\varphi = 35^\circ; \sin \varphi = 70^\circ; \sin^2 \varphi = \sin 70^\circ = 0,94; \sin^2 \varphi = 0,884;$$

$$\frac{1}{l_{kp}} = \frac{950 \cdot 8000 \cdot \sin \bar{\alpha}}{0,25 \left[106 \left(8000 - \frac{10^5 \cdot 0,884}{4} \right) (2\bar{\alpha} - \sin 2\bar{\alpha}) + \frac{\pi \cdot 106 \cdot 10^5 \cdot 0,884}{4} + 8000 (106 - 39) (0,92 - 1,97) \right]} \\ \frac{950 \cdot 8000 \cdot \sin \bar{\alpha}}{7,8 \cdot 0,25} = 106 (0,08 \cdot 10^5 - 0,25 \cdot 0,884 \cdot 10^5) (2\bar{\alpha} - \sin 2\bar{\alpha}) + \pi \cdot 106 \cdot 0,25 \cdot 0,884 \cdot 10^5 \\ - 67 \cdot 1,05 \cdot 0,08 \cdot 10^5$$

$$3900000 \sin \bar{\alpha} = 106 (-14,1 \cdot 10^3) (2\bar{\alpha} - \sin 2\bar{\alpha}) + 73,5 \cdot 10^5 - 5,6 \cdot 10^5$$

$$39 \cdot 10^5 \sin \bar{\alpha} = -14,95 \cdot 10^5 (2\bar{\alpha} - \sin 2\bar{\alpha}) + 67,9 \cdot 10^5$$

$$39 \cdot \sin \bar{\alpha} = -14,95 (2\bar{\alpha} - \sin 2\bar{\alpha}) + 67,9$$

$$\sin \bar{\alpha} = 1,74 - 0,384 (2\bar{\alpha} - \sin 2\bar{\alpha})$$

$$\sin \bar{\alpha} + 0,384 (2\bar{\alpha} - \sin 2\bar{\alpha}) = 1,74$$

Задаемся

$$\bar{\alpha} = 76^\circ; \quad 2\bar{\alpha} = 152^\circ = \frac{152}{57,3} = 2,66 \text{ радиана.}$$

$$\sin \bar{\alpha} = 0,97$$

$$\sin 2\bar{\alpha} = \sin 152^\circ = \sin 28^\circ = 0,469$$

$$0,97 + 0,384(2,66 - 0,469) = 0,97 + 0,84 = 1,81 > 1,74$$

угол 76° велик; задаемся $\bar{\alpha} = 75^\circ$

$$2\bar{\alpha} = 150^\circ = \frac{150}{57,3} = 2,62 \text{ радиана}$$

$$\sin \bar{\alpha} = \sin 75^\circ = 0,966$$

$$\sin 2\bar{\alpha} = \sin 150^\circ = \sin 30^\circ = 0,5$$

$$0,966 + 0,384(2,62 - 0,5) = 0,966 + 0,815 = 1,78 > 1,74$$

Очевидно, что $\bar{\alpha} = 74^\circ$, то есть, при угле волнообразования $\Psi = 35^\circ$ — мы получим угол стыка зон $\bar{\alpha} = 74^\circ$, т.е. на 4° меньше, чем при угле $\Psi = 45^\circ$.

Нормальные напряжения в зонах потерявших устойчивость «6», очевидно будут максимальными у неизтройного слоя (в точках где мы имели бы σ_{\max} , если бы не был преодолен предел устойчивости). Величина их может быть определена из формул (20) (для $\bar{\alpha} < \Psi$) или (22) (для $\bar{\alpha} > \Psi$), подстановкой $\bar{\alpha} = \frac{\pi}{2} - \Psi$.

Очевидно, что σ_{\max} должно быть меньше допускаемых напряжений на растяжение для фанеры.

В нашем случае ($\alpha > \psi$) пользуясь формулой (22), имеем:

$$\begin{aligned}\sigma_{\max} &= \frac{QE \sin 2\psi \sin \frac{\alpha}{2}}{2\delta \left[R \left(g - \frac{E \sin^2 2\psi}{4} \right) (2\alpha - \sin 2\alpha) + \frac{\pi R E \sin^2 2\psi}{4} + g(r-R)(2\psi - \sin 2\psi) \right]} = \\ &= \frac{950 \cdot 10^5}{2 \cdot 0,25 \left[106 \left(8 \cdot 10^3 - \frac{10^5}{4} \right) (2,72 - 0,407) + \frac{\pi \cdot 106 \cdot 10^5}{4} + 8 \cdot 10^3 (39 - 106) (1,97 - 0,92) \right]} = \\ &= \frac{950}{0,5 \left[1,06 (8 - 25) (2,72 - 0,407) + \frac{\pi \cdot 106}{4} + 8 (0,39 - 106) (1,97 - 0,92) \right]} = \\ &= \frac{1900}{-1,06 \cdot 17 \cdot 2,313 + 0,785 \cdot 106 - 8 \cdot 0,67 \cdot 1,05} = \\ &= \frac{1900}{-41,7 + 83 - 5,7} = \frac{1900}{35,6} = 53,5 \text{ кг/см}^2 < \sigma_{\text{доп.}}\end{aligned}$$

На этом заканчиваем расчет фюзеляжа на срез.

Теперь, имея границы устойчивой и неустойчивой зон, перейдем к расчету изгиба.

Расчет фюзеляжа на изгиб.

Сила на хвостовом оперении $D = 950 \text{ кг.}$

L — расстояние от точки приложения силы до рассматриваемого отсека «ПП»

$$L = 350 \text{ см. (черт. 19)}$$

$$M = D \cdot L = 950 \cdot 350 = 332500 \text{ кгсм.}$$

$$\sigma = \frac{Mz}{J_x} = \frac{Mh}{2J_x} \quad (\text{черт. 17})$$

39

При определении величины « J_x » считаем, что в работе на изгиб принимает участие обшивка только устойчивых зон.*

ТАБЛИЦА №1

N _{по пор.}	F _{см} ²	l _{см}	l ²	F _l ²	J _{x см⁴} = 4ΣF _l ²	H см	G _{см²} 60/см ²
1	2,5	28	784	1960			
2	9,5	50	2500	24600			
3	7	72	5184	36200			
4	3,6	31	961	3460	$4 \sum F l^2 = 4 \cdot 100920 =$ $= 403680 \text{ см}^4$	75	
5	6	64	4096	24600			
6	1,8	75	5625	10100			
				$\Sigma = 100920$			

Результаты расчета сводим в таблицу №1, где №№ 1, 2, 3 соответствуют участкам обшивки ($\delta = 2,5 \text{ мм}$), работающим на изгиб (т.е. под №1, следует понимать только часть обшивки, на участке от оси симметрии сечения до стрингера 4, лежащую внутри угла α)

№№ 4, 5, 6 – стрингера, причем, т.к. мы составляем $\Sigma F l^2$ для четверти поперечного сечения фюзеляжа,

*) При расчете фюзеляжа на изгиб в плоскости меньшей его жесткости (например, при расчете на случай H^3 ф) возьмут в момент инерции только растянутую часть обшивки, считая, что сжатая стенка, при малой ее кривизне, быстро потеряет устойчивость.

40

то под № 6 следует понимать только половину сечения верхнего стрингера.

F - площади входящих элементов

Усиленные стрингера № 5 (лонжероны фюзеляжа) имеют $F = 6 \text{ см}^2$.

Остальные $F = 3,6 \text{ см}^2$

ℓ - расстояния от ц.т. элемента до оси X

Имея $\sum F \ell^2$ для четверти симметричного сечения, мы очевидно можем утверждать, что

$$J_x = 4 \sum F \ell^2$$

Строго. участка фанеры между двумя стрингерами и двумя шпангоутами, считая его плоским, может быть найдено как: (Тимошенко «Сопротивл. Материалов» ч. II стр 213).

$$\sigma_{kp} = K \frac{\pi^2 E \delta^2}{128^2(1-\mu^2)} ; \text{ при } \frac{A}{B} = \frac{50}{33} = 1,52, \quad K \approx 4,3$$

$$\sigma_{kp} = 4,3 \frac{\pi^2 \cdot 10^5 \cdot 0,25^2}{12 \cdot 33^2 (1-0,46^2)} = 410 \cdot 0,25^2 = 25,5 \text{ кг/см}^2$$

Устойчивость цилиндрической пластинки со стрелкой погиби f (см. черт. 20), может быть определена по формуле:

$$\sigma_{kp} = \frac{4\pi^2 E \delta^2}{12 B^2 (1-\mu^2)} \left(1 + 0,448 \frac{f^2}{\delta^2} \right)$$

(Тимошенко «Теория упругости» ч. II)

У нас $f = 2 \text{ см}$.

Тогда:

$$\sigma_{kp} = \frac{4\pi^2 \cdot 10^5 \cdot 0,25^2}{12 \cdot 33 (1-0,46^2)} \left(1 + 0,448 \frac{2^2}{0,25^2} \right) = 23,8 \cdot 29 = 690 \text{ кг/см}^2$$

41

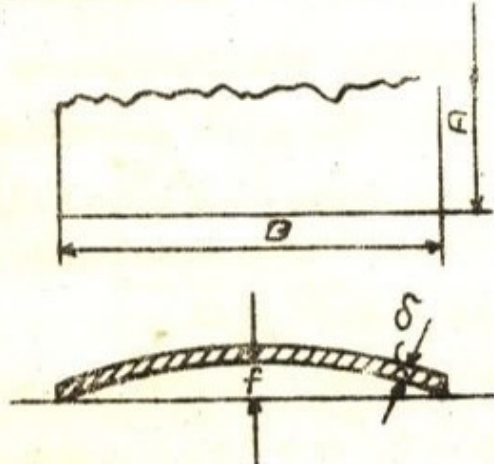
Очевидно, что критерием для \hat{b} будет не $\hat{b}_{kp} = 690 \text{ кг/см}^2$, а временное сопротивление фанеры на сжатие $\hat{b}_{vr} = 400 \text{ кг/см}^2$.

Во всяком случае $\hat{b}_{vr} > \hat{b}$, $400 > 62$ (см. табл. №1), т.е. обшивка удовлетворяет и условиям прочности и условиям устойчивости.

Как видим с возрастанием стяжки погиб « f » резко возрастает и устойчивость обшивки.

При малых « f », легко получить $\hat{b}_{krit} < \hat{b}$.

В таком случае, очевидно, необходимо либо увеличить толщину обшивки, либо ввести промежуточные стрингера (уменьшив тем самым размер « B »).



Последнее выгодно, ибо, при незначительном добавке веса, резко увеличивает устойчивость обшивки.

В настоящем расчете не учтены вырезы в обшивке фюзеляжа в местах расположения кабин пилота, люков и т.д.

ЧЕРТ. № 20

Очевидно, что влияние этих вырезов на работу фюзеляжа велико.

Учет вырезов при расчете фюзеляжа очень сложен. При расчете фюзеляжа на изгиб с учетом вырезов необходимо:

1) Не вводить в величину момента инерции, в сечении фюзеляжа под вырезом, сечений вырезанных участков (обшивки и стрингеров).

2) Расчитывать рамку вокруг выреза (вырезы окантовываются или несколькими слоями фанеры или панками) от

СИЛ ПЕРЕДАЮЩИХСЯ НА НЕЕ В ПРОЦЕССЕ ИЗГИБА ФЮЗЕЛЯЖА В ЦЕЛОМ.

3). Учесть концентрацию напряжений у выреза.

При расчете на кручение — проверить фюзеляж как тонкостенную трубу с вырезом, работающую на кручение.

Ввиду сложности этих расчетов, в большинстве случаев на практике, на сегодня, делаются лишь приближенные прикидки влияния вырезов, причем напряжения от изгиба увеличиваются в три, а от кручения в четыре раза и, полученные таким образом, напряжения сравниваются с допустимыми напряжениями прочности (см. Тимошенко «Сопротивление материалов» — гл. «О концентрации напряжений у вырезов»).

Окончательное суждение о прочности фюзеляжа «Монокок» составляется по данным статических испытания.

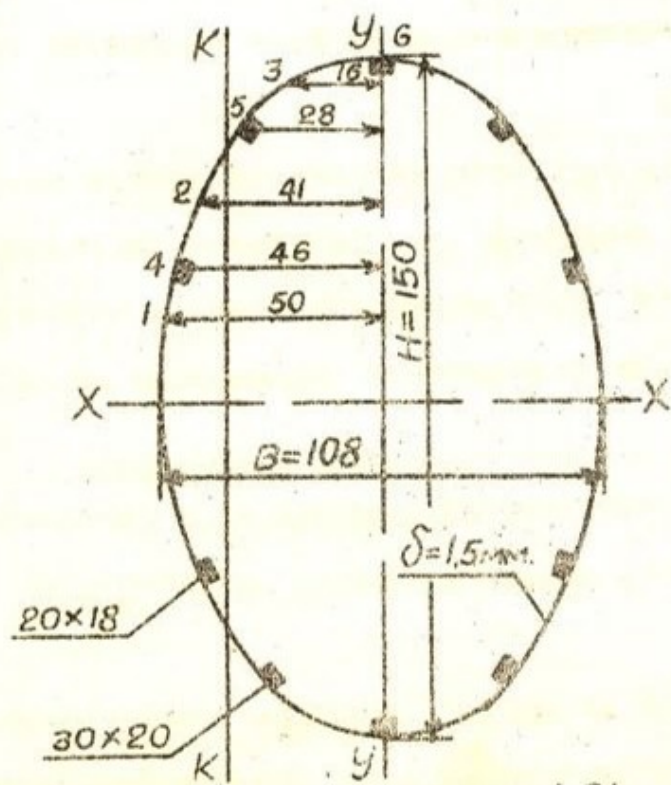
В) Приближенный расчет фюзеляжа типа «Монокок»

(«Расчет фюзеляжа на прочность»
Бойков § 34).

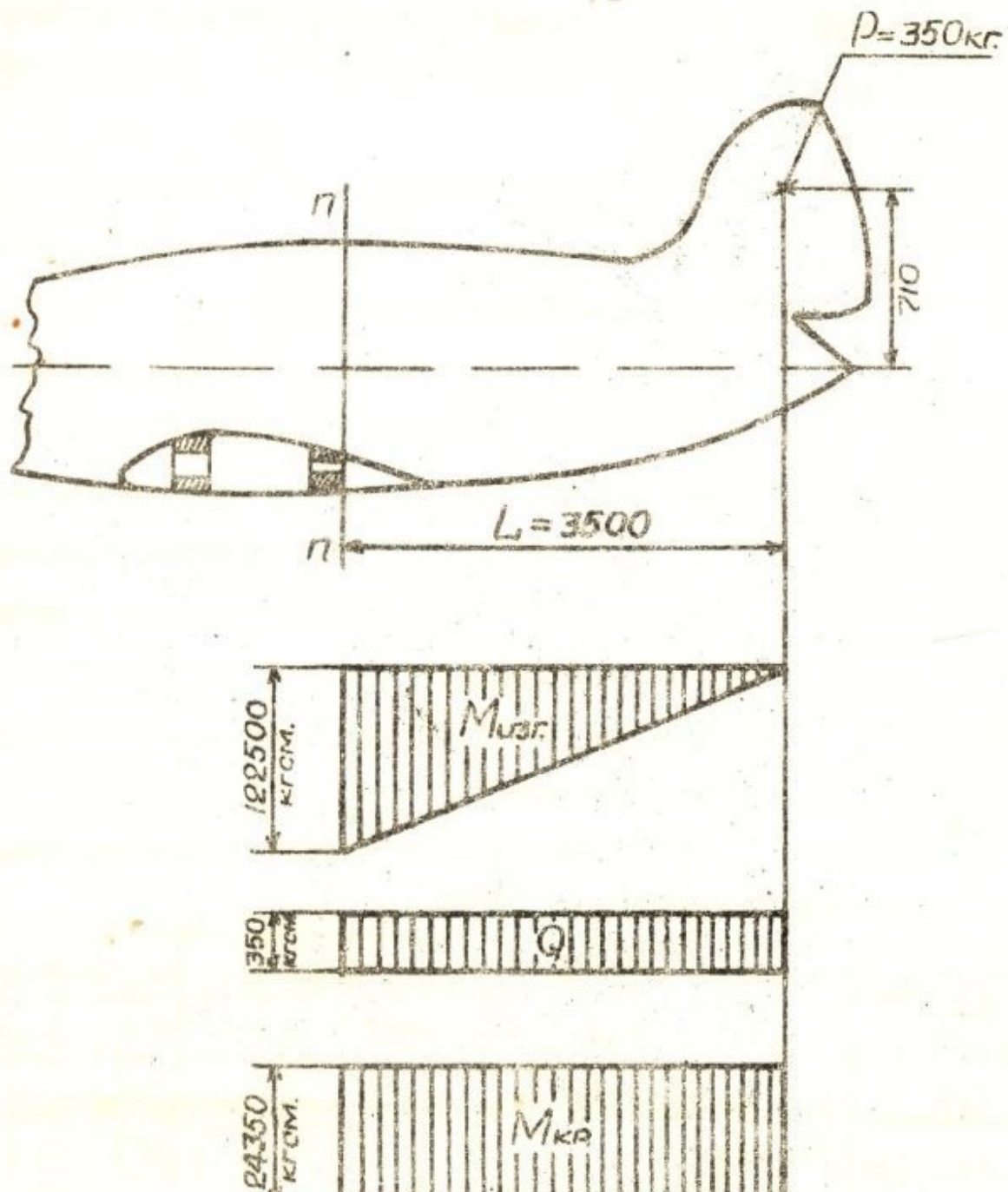
Фюзеляж рассматривается как балка на изгиб, срез и кручение.

Для примера проведем расчет того же фюзеляжа монокок на случай H^3_f .

Горизонтальная сила $P = 350 \text{ кг}$ приложена в центре падусности вертикального оперения



43



ЧЕРТ. № 22

Считаем, что изгиб воспринимается всем сечением (стрипингерами и обшивкой). Тогда нормальные напряжения от изгиба мы можем определить по формуле

$$\sigma = -\frac{M_{изг} \frac{B}{2}}{J_y}$$

44

напряжения от изгибающей силы Q определяем по формуле.

$$\sigma_{\text{ср.}} = \frac{QS}{2EI_y}$$

Напряжение от кручения, как

$$\sigma_{\text{кр.}} = \frac{M_{\text{кр.}}}{2F_{\text{конт.}} \delta} \quad (\text{из-за БРЕИЛНА})$$

(считаем, что на кручение работает только обшивка без стыков и гермов).

Предполагая, что сечения фюзеляжа подобны, а ось жесткости предстает собой горизонтальную прямую, можем считать, что момент по всей длине фюзеляжа постоянен.

Необходимые для расчета данные сводим в табл № 2 (т. чертеж № 21)

ТАБЛИЦА № 2.

сторона ребра	участки обшивки	N	F см^2	$\ell_{\text{см}}$	ℓ^2	FL	FL^2	$J_y = 4 \sum FL^2$	μ	$M_{\text{изг.}}$ ($\text{кг}\cdot\text{см}$)	$G = \frac{M}{2J}$	$S_y = \rho \sum FL$	Q	
		1	7,5	50	2500	375	18800	195600 см^4	54 см	$350 \cdot 350 = 122500$	$33 \text{ кг}/\text{см}^2$	2422 см^3	350 кг	
		2	9,5	41	1680	390	16000							
		3	7,0	16	256	112	1800							
		4	3,6	46	2106	166								
		5	6	28	784	168	4700							
					$\Sigma =$									
					1211	48900								

ПРИМЕЧАНИЕ: №№ 4, 5 - стыки герда; №№ 1, 2, 3 - участки обшивки между стыками гермами.

45

F -площади элементов (стригеров и обшивки)

ℓ -расстояния от центра тяжести элемента до оси Y .

Момент инерции $J = 4 \sum F \ell^2$, т.к. сечение симметрично относительно осей Y и Z .

Прият. момент $S = 2 \sum F \ell$ т.е. стат. момент берется для части сечения расположенной выше оси Y .

Толщина обшивки $\delta = 2,5 \text{ мм.}$; $\sigma_{\text{ср.}}$ -максимальное напряжение среза в сечении.

$$\sigma_{\text{сум.}} = \sigma_{\text{среза}} + \sigma_{\text{круч.}} = 8,7 + 4,1 = 12,8 \text{ кг/см}^2$$

$\sigma_{\text{крит.}}$ имеем из расчета на случай «С» по Знаменскому

$\sigma_{\text{крит.}} = 7,8 \text{ кг/см}^2$ т.е. $\sigma_{\text{крит.}} < \sigma$; $7,8 < 12,8$ фанера в точках где $\sigma = \sigma_{\text{max}}$ (у нейтрального слоя) теряет устойчивость.

Проверим еще фанеру в точках КК (черт. 21) (тогда в статический момент войдут площади лежащие только выше оси КК) (см. табл. № 3).

ТАБЛИЦА № 3

№ № ЭЛЕ- МЕНТ.	F см^2	ℓ см	$F\ell$	$S_{\text{KK}} =$ $= 2 \sum F \ell$	$\sigma_{\text{KK}} =$ $= \frac{Q S_{\text{KK}}}{2,75 \delta}$	
1	7,5	50	375	1862	6,6	
2	9,5	41	390			
4	3,6	46	166			
$\Sigma =$		931				

$$\sigma_{\text{сум.}} = 6,6 + 4,1 = 10,7 > 7,8 \text{ кг/см}^2$$

Следовательно обшивка теряет устойчивость даже, несколько, выше, чем точка «К»

Очевидно необходимо, либо увеличить количество стрингеров, либо поставить более толстую обшивку в данном сечении.

Расчет ферменного фюзеляжа

Расчет на случай Еф (посадка в-та).

При расчете на случай Еф. считаем, что все нагрузки воспринимаются двумя вертикальными фермами фюзеляжа. Для расчета требуются необходиомо, все грузы разнести по соответствующим узлам. Предварительно, составим таблицу весовых нагрузок взятых схемы нагрузки (случай №1).

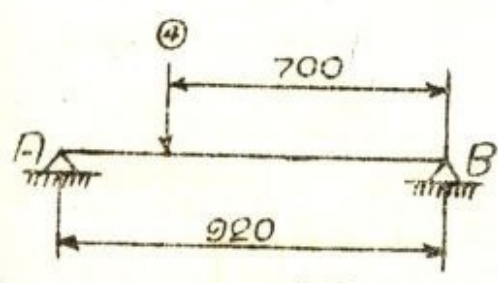
ТАБЛИЦА № 1
ВЕСОВЫХ НАГРУЗОК НА СЛУЧАЙ ЕФ.

№ ГРУ- ЗА.	Наименование груза	Вес в кг.	Расстоя- ние от правого шпанго- ута.	К каким узлам фер- мы груз относит- ся.
1	Моторостановка	480	880	A и A ₁
2	Вес хвост. оперения.	27	на левый шпангоут	K и K ₁
3	Бак с маслом	40	700	B и C
4	Доска приборов	15	700	A и B
5	Шасси	80	780	A ₁ и B ₁
6	Оборуд. наблюдат.	21	680	C и D
7	Бензин в крыле	263	640	A ₁ и B ₁
8	Крыло	160	540	A ₁ и B ₁
9	Пусковой прибор	16	680	B ₁ и C ₁
10	Летчик с парашют.	90	260	A ₁ и B ₁
11	Фюзеляж	105		на всех верхн. и всех нижн.
12	Наблюд. с парашют.	90	260	C ₁ и D ₁
13	Спецоборудование.	20	560	D ₁ и E ₁

Нагрузки по узлам фермы - разносятся по правилу рычага.

Для примера, разложим грузы находящиеся в первом отсеке рычажка (между 1^м и 2^м шпангоутами). В этом отсеке мы имеем грузы: «4» относящийся к верхним узлам и 7,8,10 - относящиеся к нижним узлам.

Разложим груз «4» (схема нагрузки панели АВ показана на черт. № 2).



$$A = \frac{15 \cdot 700}{920} = 11,4 \text{ кг}$$

$$B = 15 - A = 15 - 11,4 = 3,6 \text{ кг.}$$

Из чертежа 1 видно, что к узлу А больше никаких грузов добавляться не будет. Что касается узла «В», то к нему добавится еще часть нагрузки от груза «3» находящегося в верхней части пролета BC. Продуммировав их, мы найдем полную нагрузку узла В.

Проделав аналогичное разложение по узлам верхних и нижних поясов фермы - получаем нагрузки и сводим их в таблицу № 2.

При разнесении грузов по узлам фермы, для облегчения работы, мы допускали, что направление всех грузов - вертикальное (или что плечи горизонтальны).

В дальнейшем же, при построении диаграммы Кремоны - мы их повернем на соответствующий случаю Европейский угол (посадочный). К полученным узловым нагрузкам от приложенных грузов, необходимо добавить веса, полу-

ЧЕННЫЕ от различения веса санного фюзеляжа.

ТАБЛИЦА № 2

УСИЛИЙ В УЗЛАХ ФЕРМЫ.

УЗЕЛ	Надве верт. фермы	На одни верт. ферму	Расстоян. до точки Несм.
A	18	9	422
B	44,7	22,35	334
C	40,5	20,25	240
D	11	5,5	164
E	6	3	97
J	4,5	2,25	38
K	17	8,5	-22
L	1,5	0,75	-80
M	480	240	523
A ₁	314,5	157,25	449
B ₁	308,5	154,25	363
C ₁	44	22	268
D ₁	95	47,5	187
E ₁	10	5	117
J ₁	4,5	2,25	48
K ₁	17	8,5	-8
L ₁	1,5	0,75	-70

Итого: на ферму 709 кг.

Помножив этот вес на коэффициенты в каждом отсеке получим вес фюзеляжей приходящийся на данный отсек и считая его приложенным по средине - разносим по рав-

ной ширине фермы фюзеляжа не одинаковых сечений (больше в местах, где сосредотачиваются нагрузки), то распределение собственного веса фюзеляжа произведем таким образом:

поднимем для каждого отсека коэффициент учитывающий относительную толщину труб.

На основании статических данных ранее построенных фюзеляжей - ориентировочно примем коэффициенты такими:

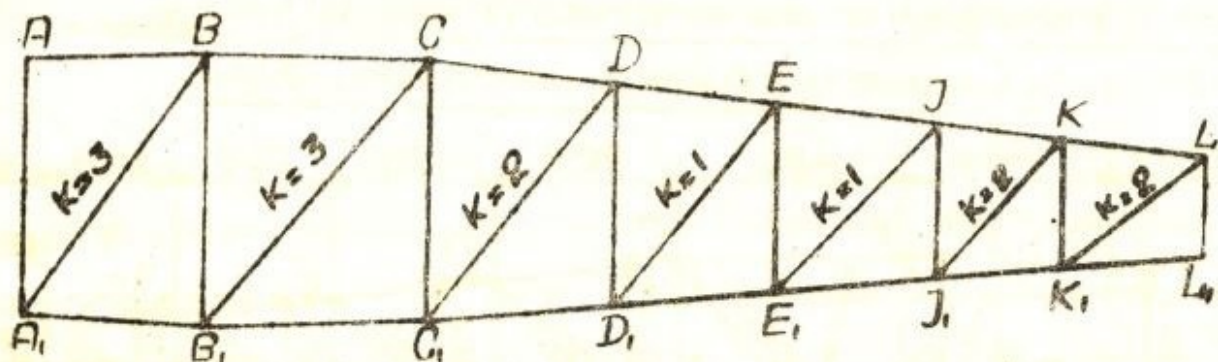
для отсека АД, ВВ, и ВВ, СС, - 3

" " " СС, DD, JJ, KK, и KK, LL, - 2

" " " DD, EE, и EE, JJ; - 1

Разделив вес всего фюзеляжа на сумму коэффициентов - найдем вес соответствующий коэффициенту равному единице.

НОЙ ВЕЛИЧИНЕ НА 4 УЗЛА (СМ. ЧЕРТ. № 3).



СУММА ВСЕХ КОЭФФИЦИЕНТОВ = 14

ЧЕРТ. № 3

Для нахождения реакции шасси R_w (Чертеж 18) необходимой для построения диаграммы креомоны определим сумму моментов всех сил (узловых нагрузок) относительно точки «Н» (точки касания костыля) и приравняем его нулю (т.к. система должна находиться в равновесии)

$$\begin{aligned}
 M_H = & 9 \cdot 422 + 22,35 \cdot 334 + 20,25 \cdot 240 + 5,5 \cdot 164 + 3 \cdot 97 + \\
 & + 2,25 \cdot 32 - 8,5 \cdot 22 - 0,75 \cdot 80 + 240 \cdot 523 + 157,25 \cdot 449 + \\
 & + 154,25 \cdot 363 + 22 \cdot 268 + 47,5 \cdot 187 + 5 \cdot 117 + 2,25 \cdot 48 - \\
 & - 8,5 \cdot 8 - 0,75 \cdot 70 - R_w \cdot 452 = 0
 \end{aligned}$$

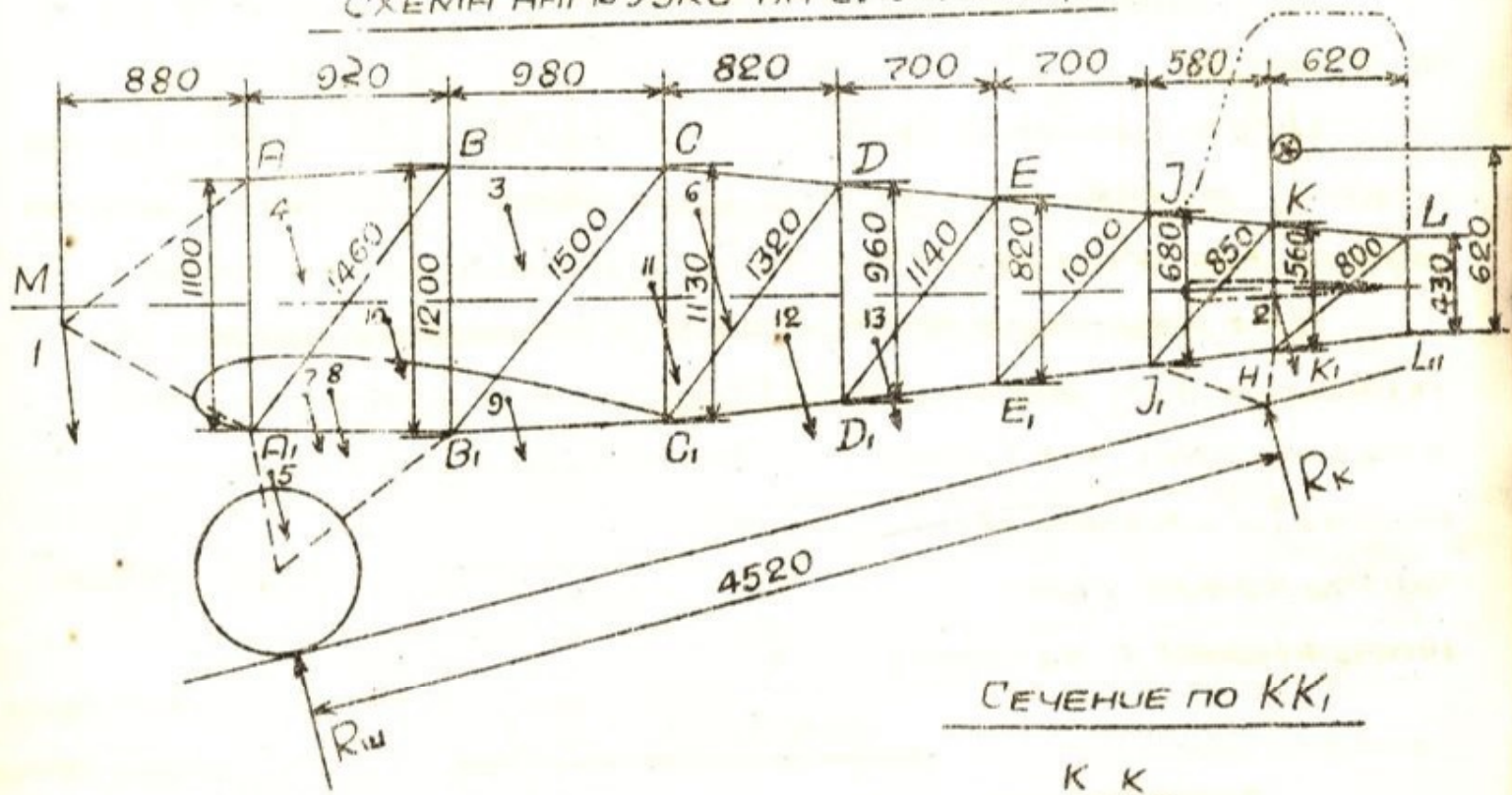
$$\text{откуда: } R_w = \frac{M_H}{452} = \frac{284639}{452} = 630 \text{ кг.}$$

$$R_{\text{костыля}} = \Sigma P - R_w.$$

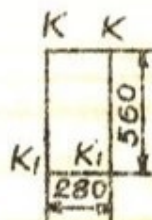
где ΣP — сумма всех узловых нагрузок — равная 709 кг.

К РАСЧЕТУ ФЕРМЕННОГО ФЮЗЕЛЯЖА

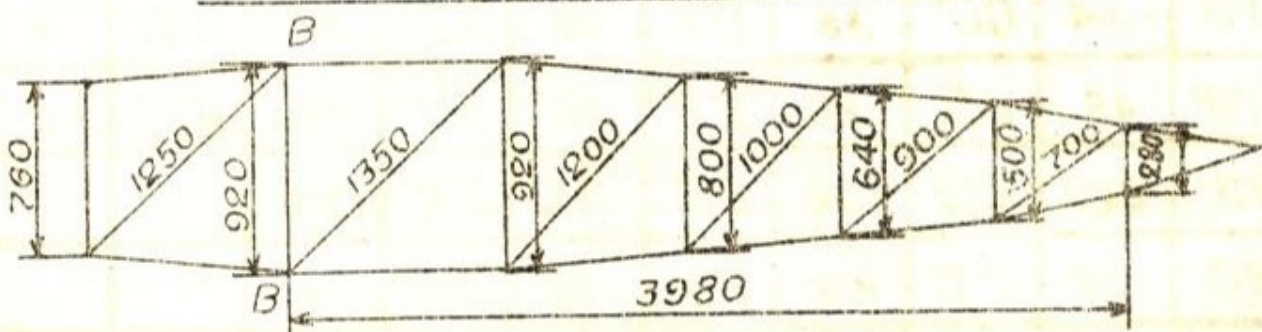
СХЕМА НАГРУЗКИ НА СЛУЧАЙ «ЕФ»



СЕЧЕНИЕ ПО КК,



Нижний горизонтальный набор.



ЧЕРТ. №1

$$R_{\text{костыля}} = 709 - 630 = 79 \text{ кг}$$

Все силы и реакции направлены под углом α пос. к вертикали.

Имея реакции шасси и костыля и все узловые нагрузки, можем построить диаграмму Кремоны для определения усилий в стержнях фермы (диаграмма №1).

Для удобства построения диаграммы, точку приложения сил мотогруппы соединяем фиктивными стержнями (на чертеже показаны пунктирными линиями) с узлами А и А₁. То же производим с точкой приложения силы $R_{\text{кост.}}$, соединяя ее фиктивными стержнями с узлами J' и K'.

ТАБЛИЦА № 3.

Диаграммных усилий в стержнях фермы

СТЕРЖ	УСИ- ЛИЕ.	СТЕРЖ	УСИ- ЛИЕ.	СТЕРЖ	УСИ- ЛИЕ.	СТЕРЖ	УСИ- ЛИЕ.	СТЕРЖ	УСИ- ЛИЕ
AA'	-107	B'C	87	DD'	20	E'J	60	KK'	-58
AB	109	B'C'	-67	DE	-102	E'J'	24	KL	5
A'B	-314	CC'	38	D'E	40	JJ'	50	K'L	-3
A'B'	48	CD	-80	D'E'	66	JK	-39	K'L'	-2
BB'	220	C'D	-32	EE'	-39	J'K	58		
BC	-38	C'D'	102	EJ	-80	J'K'	14		

Полученные значения усилий необходимо помнить на коэффициент перегрузки $\Gamma_e = 4,5$ и по этим

К расчету ферменного фюзеляжа

на случай «Еф»

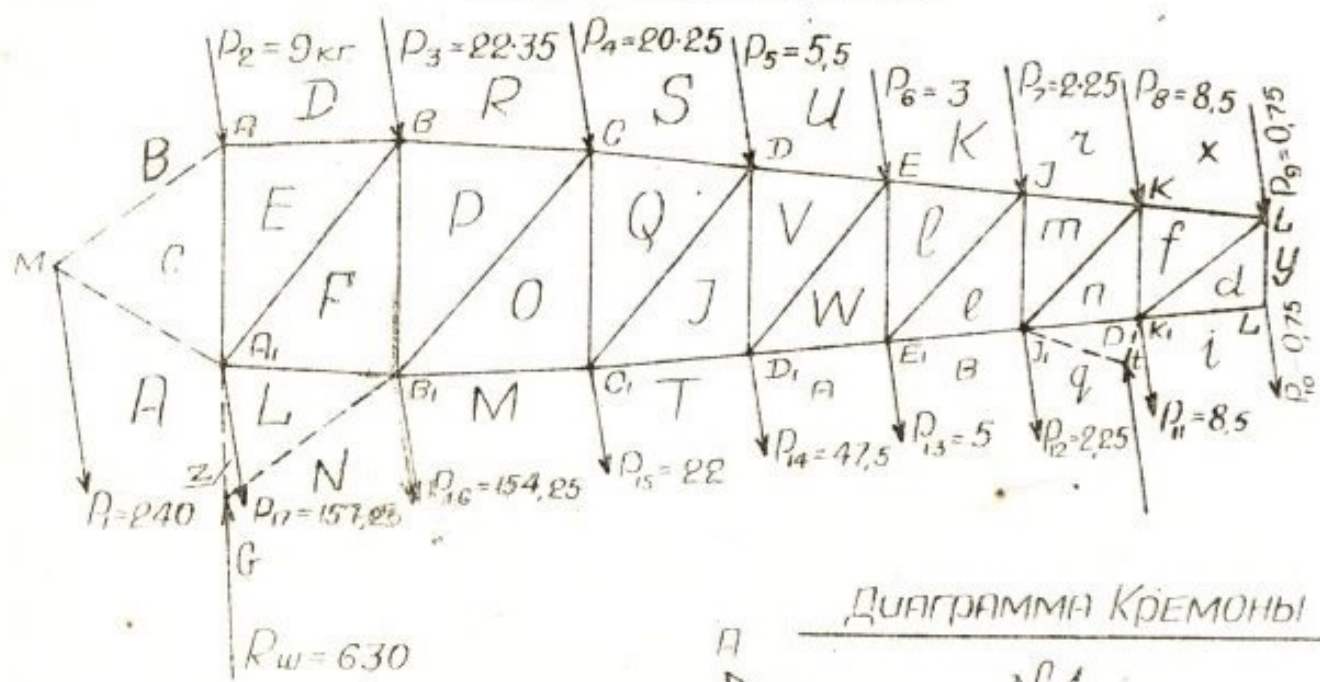
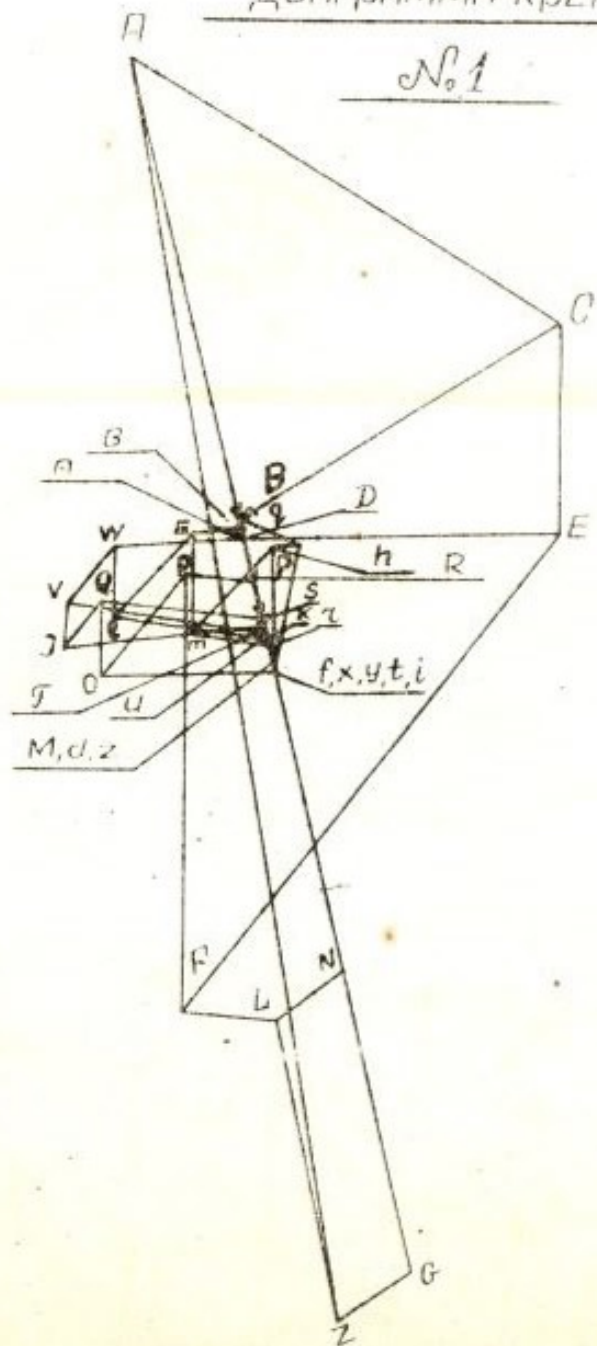


Диаграмма Кремоны

№1



- 7 -

укае усилиям, зная разрушающие напряжения, для данного материала, подобрать соответствующие сечения стержней.

$$P_{\text{разруш.}} = P_{\text{диагр.}} \cdot n_e$$

ТАБЛИЦА № 4.

Стерж.	$P_{\text{разруш.}}$	Необходима площадь	Необходимые размеры	Принятая площадь	Принятые размеры
AA'	-480		22×20	0,754	25×23
AB	760	0,19		0,597	20×18
A'B	-1410		30×27	1,484	33×30
A'B'	216	0,054		0,597	20×18
BB'	990	0,247		0,597	20×18
BC	-144		16×14	0,597	20×18
B'C	391	0,098		0,597	20×18
B'C'	-301		22×20	0,754	25×23
CC'	171	0,043		0,597	20×18
CD	-360		16×14	0,597	20×18
C'D	-144		20×18	0,597	20×18
C'D'	460	0,115		0,597	20×18
DD'	90	0,0225		0,597	20×18
DE	-460		16×14	0,597	20×18

ТАБЛИЦА № 4
(продолжение)

Стерж	$R_{разруш}$	Необход площадь	Необход размеры	Принят. площадь	Принят размеры
D'E	180	0,045		0,597	20x18
D'E'	397	0,0995		0,597	20x18
E'E'	-153		14x12	0,597	20x18
E'J	-360		14x12	0,597	20x18
E'J'	270	0,0675		0,597	20x18
E'J''	108	0,027		0,597	20x18
JJ'	225	0,0565		0,597	20x18
JK	-175		12x10	0,471	16x14
J'K	261	0,0652		0,597	20x18
J'K'	63	0,0157		0,597	20x18
KK'	-261		12x10	0,471	16x14
KL	22,5	0,0057		0,597	20x18
K'L	-13,5		12x10	0,471	16x14
K'L'	-9			0,471	16x14

В присоединённой таблице, необходимые площади сечений определяются для растянутых стержней по формуле: $F_{необход} = \frac{R_{разруш}}{R_{разруш}}$ где $R_{разруш}$ - разрушительное

напряжение, для данного материала. Нами принят материал - углеродистая сталь марки «М» с разрушающим напряжением $4000 \text{ кг}/\text{см}^2$.

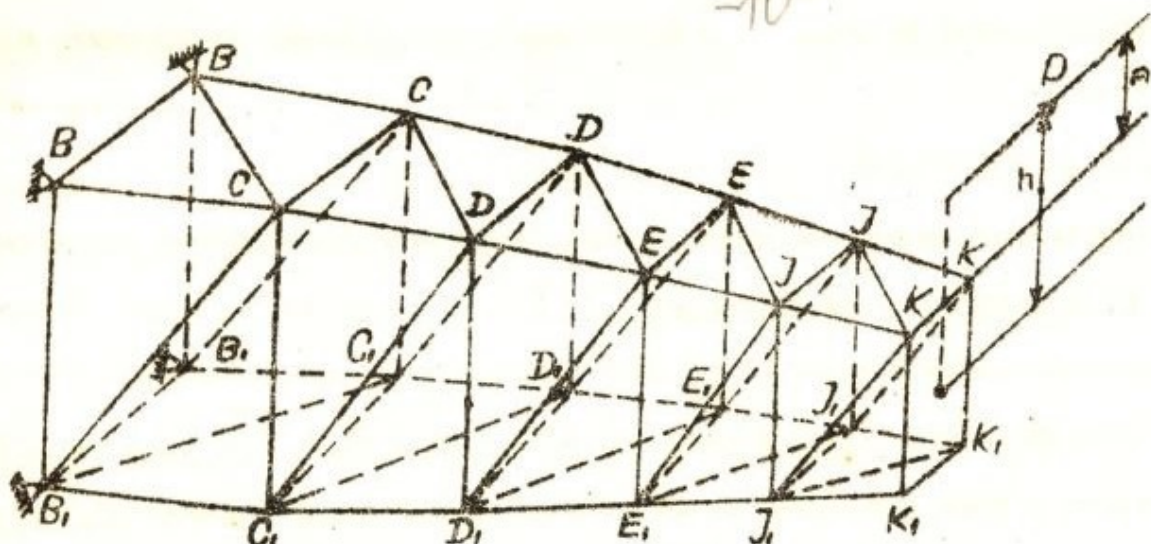
По полученным, таким образом, площадям, можно подобрать соответствующие сечения по таблице приведенной в справочной книге по расчету самолета на прочность коллектива инженеров, на стр. 55.

Сечения для сжатых стержней подбираем следующим образом: зная длину стержня и действующее в нем усилие сжатия - подбираем сечение по диаграмме построенной на основании опытных данных для мягких углеродистых труб (график №№ 25 и 26 - справочной книги по расчету самолета на прочность коллектива инженеров). Там где необходимые размеры очень малы, подбираем трубы из конструктивных соображений (графа «Принятые размеры»)

На этом расчет фюзеляжа (боковых его ферм) на случай E_f можно считать законченным. Что касается расчета горизонтальных ферм фюзеляжа, то в данном случае (E_f) они являются недорасчетными. Расчет их будет нами подробно рассмотрен при расчете фюзеляжа на случай H_f^3 .

Расчет ферменного фюзеляжа на случай H_f^3 .

Вводим следующие обозначения: $P_{в.о.}$ - максимальная нагрузка на вертикальное оперение, определяющаяся по формуле: $P_{в.о.} = 0,0454 V_{\max}^2 S_{в.о.}$



ЧЕРТ. № 4.

$S_{в.о.}$ - принимаем равной 7% от площади крыла.

A - расстояние от центра давления верт. опоры до верхней фермы фюзеляжа ($A = 34$ см)

h - плечо от центра давления верт. опоры до центра жесткости фюзеляжа.

На основании аэродинамического расчета имеем, для нашего самолета.

$$V_{\max} = 400 \text{ км/час} = 111 \text{ м/сек.}$$

$$S_{крыла} = 15 \text{ м}^2$$

$$S_{в.о.} = 0,07 \cdot S_{крыла} = 0,07 \cdot 15 = 1,05 \text{ м}^2$$

$$\rho_{в.о.} = 0,0454 \cdot 111^2 \cdot 1,05 \approx 590 \text{ кг.}$$

Принимаем для расчета $\rho_{в.о.} = 600 \text{ кг.}$

Для расчета фюзеляж считаем закрепленным у заднего лонжерона крыла, что соответствует сечению BB_1B_1 .

Момент крутящий в любом сечении фюзеляжа определим,

$$\text{как } M_{кр} = P_{в.о.} \cdot h$$

ГДЕ h - расстояние от точки приложения силы до центра жесткости в данном сечении

(т.к. $M_{kr} = P_{vo} \cdot h$, получен в результате перевода силы P_{vo} в центр жесткости, то, очевидно, фюзеляж будет испытывать две деформации

1) от M_{kr} .

2) от силы P_{vo} , приложенной в центре жесткости).

При отыскании центра жесткости в сечении KK , фюзеляжа мы исходим из прогиба горизонтальных ферм на всей их длине.

Задаемся сечениями стержней и конфигурацией ферм верхнего и нижнего набора.

Считаем, что рам в наборе нет, и что конфигурация верхней и нижней фермы - одинакова. Сечения всех стержней нижнего набора принимаем 20×18 (кроме поясных). Сечения стержней верхнего набора, включая сечение DD - принимаем 20×18 ; от сечения DD и до KK - принимаем 16×14 (кроме поясных).

Размеры поясных стержней берем из таблицы № 4.

Положение центра жесткости, необходимое для разделения силы R^3 между горизонтальными фермами, определяется по формуле

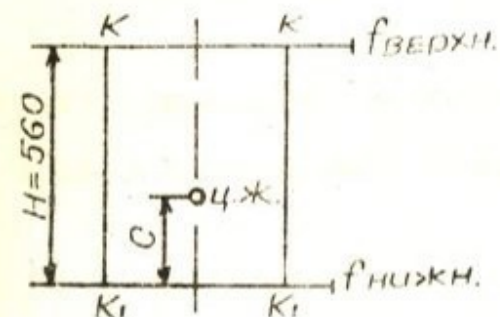
$$C = H \frac{\gamma f_{\text{верх.}}}{\gamma f_{\text{верх.}} + \gamma f_{\text{нижн.}}}$$

где $f_{\text{верх.}}$ и $f_{\text{нижн.}}$ - прогибы соответствующих ферм под действием одинаковой внешней силы на каждую из ферм (мы принимаем силу, равную единице).

Прогибы ферм определяем из условия равенства потенциальной энергии, накопленной фермой от силы P (равной единице) приложенной на конце ее и работы совершенной данной силой

$$U = \sum \frac{S^2 \ell}{2EF} = \frac{\rho f}{2} = \frac{f}{2}$$

$$\text{откуда } f = 2U = 2 \sum \frac{S^2 \ell}{2EF};$$



ЧЕРТ. № 5

Для нахождения усилий « S » в стоечных фермы строим диаграмму Кремоны для единичной силы (Диаграмма № 2).

Результаты диаграммы и определение потенциальной энергии сводим в таблицу № 6

Имея потенциальные энергии « U » для верхней и нижней горизонтальных ферм можем определить их прогибы, а затем и положение центра жесткости.

$$f_{\text{нижн.}} = 2U_{\text{нижн.}} = 2 \cdot 0,004145 = 0,008290 \text{ см.}$$

$$f_{\text{верхн.}} = 2U_{\text{верхн.}} = 2 \cdot 0,004486 = 0,008972 \text{ см.}$$

При $H=56$ см. (см. черт. № 5).

$$C = 56 \frac{0,008972}{0,008972 + 0,008290} = 26,8 \text{ см.}$$

Зная прогибы ферм можем всю горизонтальную силу P^3 (приложенную в центре жесткости) разнести на горизонтальные фермы пропорционально их жесткости.

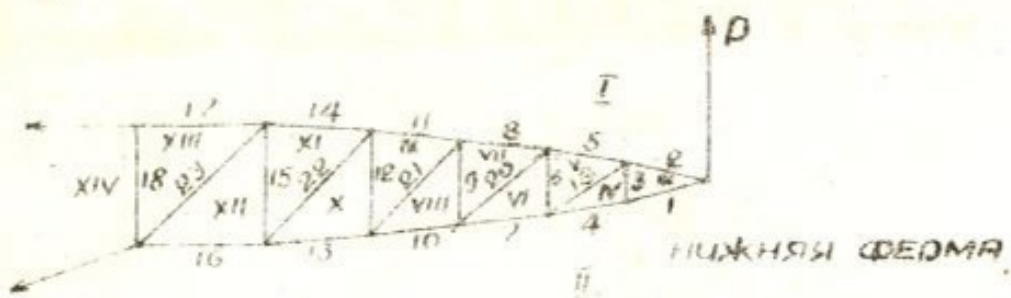
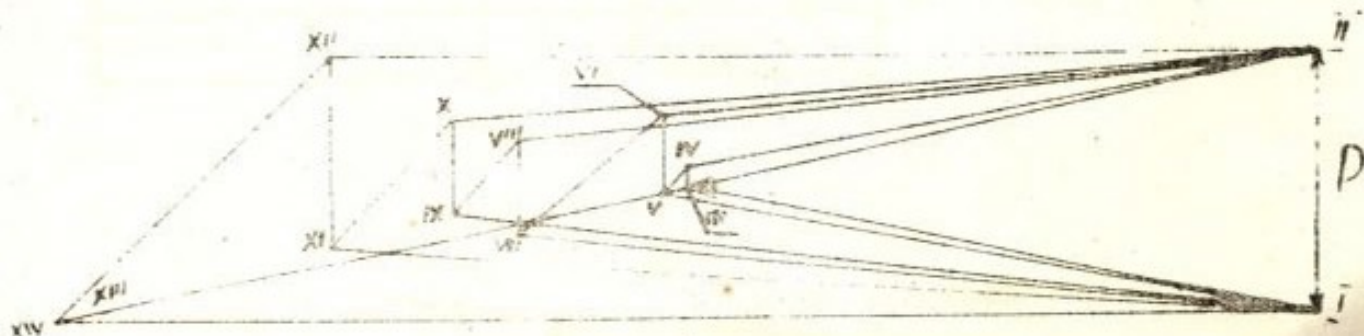


Таблица № 5

Нижний набор.		Верхний набор.	
Число	Усилие	Число	Усилие
No 1	+ 2,5 D	No 1	- 2,5 D
2	- 2,5 D	2	+ 2,5 D
3	- 0,05 D	3	- 0,05 D
4	+ 2,5 D	4	- 2,5 D
5	- 2,6 D	5	+ 2,6 D
6	- 0,28 D	6	0,28 D
7	+ 2,55 D	7	- 2,55 D
8	- 3,1 D	8	+ 3,1 D
9	- 0,32 D	9	0,32 D
10	- 0,36 D	10	- 3,1 D
11	- 3,1 D	11	+ 3,35 D
12	- 0,36 D	12	0,36 D
13	+ 3,35 D	13	- 3,35 D
14	- 3,83 D	14	+ 3,83 D
15	- 0,73 D	15	- 0,73 D
16	+ 3,82 D	16	- 3,82 D
17	4,9 D	17	- 4,9 D
18	0	18	0
19	+ 0,12 D	19	- 0,12 D
20	+ 0,71 D	20	- 0,71 D
21	+ 0,35 D	21	- 0,35 D
22	+ 0,67 D	22	- 0,67 D
23	+ 1,47 D	23	- 1,47 D

Диаграмма колонны № 2
для гидравлической фермы от силы $D = 1$



делим, т.е. обратно-пропорционально их прогибам (Верхние фермы считаем неработающими от этой силы, аналогично как в случае Еф-горизонт. фермы).

$$P_{\text{ВЕРХН}} = P_h^3 \frac{\gamma f_{\text{ВЕРХН}}}{\gamma f_{\text{ВЕРХН}} + \gamma f_{\text{НИЖН}}} = 600 \frac{0,008972}{0,008972 + 0,008290} \approx 920 \text{ кг.}$$

$$P_{\text{НИЖН}} = P_h^3 - P_{\text{ВЕРХН}} = 600 - 290 = 310 \text{ кг.}$$

Получив силы, приходящиеся на верхнюю и нижнюю горизонтальные фермы, можем получить усилия в стержнях этих ферм (от силы P_h^3) путем перемножения усилий полученных от единичной силы (см. таблицу № 6) на соответствующую данной ферме силу, например: по таблице № 6 для стержня № 1, мы имеем усилие в нем от единичной силы равное 2,5 кг.

Сила приходящаяся на верхнюю ферму $P_{\text{ВЕРХН}}$, равна 290 кг. тогда действительное усилие в стержне № 1 для верхней фермы от силы P_h^3 равно:

$$S'_{\text{ВЕРХН.}} = -2,5 \text{ кг. } 290 = -725 \text{ кг.}$$

$$\text{аналогично } S'_{\text{НИЖН.}} = 2,5 \text{ кг. } 310 = 775 \text{ кг.}$$

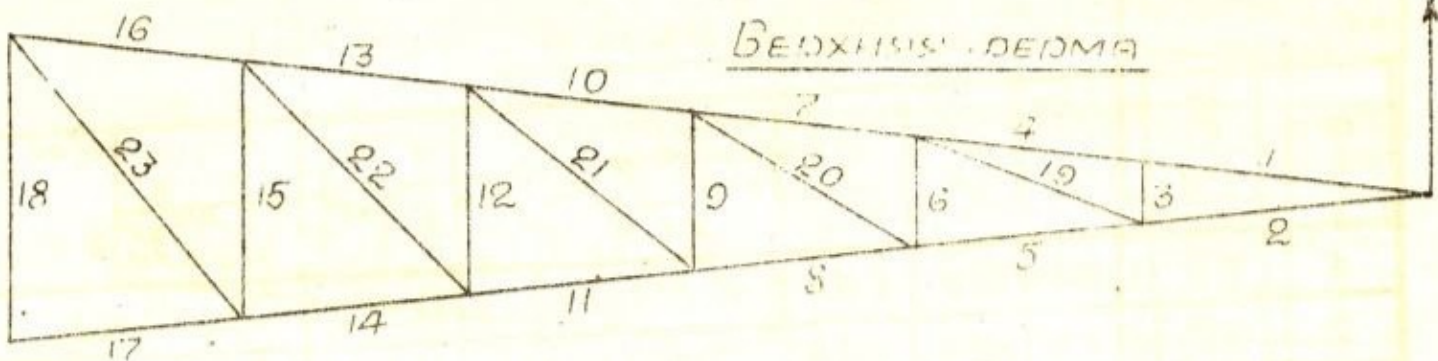
Полученные таким путем усилия сводим в табл. № 7.

Примечание: т.к. конструкция верхней горизонтальной фермы получена путем поворота нижней на 180° вокруг прод. оси фюзеляжа, наименование стержней и усилия в них будут соответственно меняться. См. чертеж № 6 и таблицу № 5 к диаграмме Кремоны № 2.

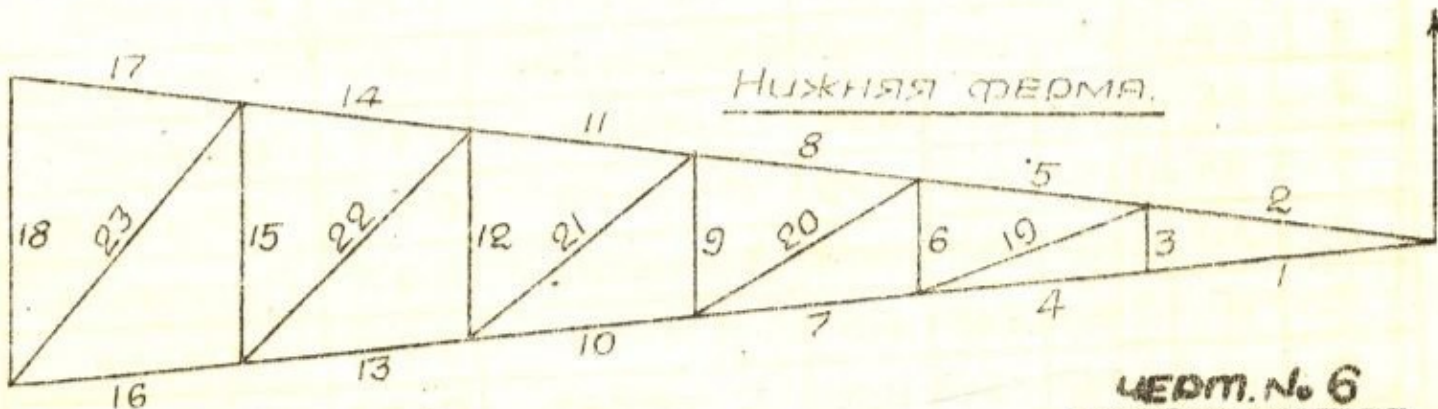
ТАБЛИЦА № 6.

СТЕР- ЖЕНЬ.	ℓ СМ.	НИЖН. F_{CM}	S	S^2	НИЖН. $\frac{S^2 \ell}{2EF}$	ВЕРХН. F_{CM}^2	ВЕРХН. $\frac{S^2 \ell}{2EF}$
1	62	0,471	2,5	6,25	0,000205	0,597	0,000162
2	62	0,471	-2,5	6,25	0,000205	0,597	0,000162
3	28	0,597	-0,05	0,0025	0,0000000282	0,471	0,0000000358
4	58	0,597	2,5	6,25	0,000151	0,471	0,000192
5	58	0,597	-2,6	6,76	0,000164	0,471	0,000208
6	50	0,597	-0,28	0,078	0,00000163	0,471	0,00000206
7	70	0,597	2,55	6,5	0,00019	0,597	0,00019
8	70	0,597	-3,1	9,61	0,000282	0,597	0,000282
9	64	0,597	-0,32	0,102	0,00000274	0,471	0,00000346
10	70	0,597	3,1	9,61	0,000282	0,597	0,000282
11	70	0,597	-3,35	11,22	0,000329	0,597	0,000329
12	80	0,597	-0,36	0,13	0,00000435	0,597	0,00000435
13	82	0,597	3,35	11,22	0,000385	0,597	0,000385
14	82	0,597	-3,83	14,67	0,000503	0,597	0,000503
15	92	0,597	-0,73	0,533	0,0000201	0,597	0,0000201
16	98	0,754	3,83	14,67	0,000472	0,597	0,0006
17	98	0,754	-4,9	24,01	0,00078	0,597	0,000985
18	92	0,597	0	0	0	0,597	0
19	70	0,597	0,12	0,0144	0,000000422	0,471	0,000000535
20	90	0,597	0,71	0,504	0,000019	0,471	0,000024
21	100	0,597	0,35	0,123	0,00000515	0,471	0,00000653
22	120	0,597	0,67	0,449	0,0000226	0,597	0,0000226
23	135	0,597	1,47	2,16	0,000122	0,597	0,000122
Σ					0,004175		0,004486

- 15 -



ВЕРХНЯЯ ФОРМА



НИЖНЯЯ ФОРМА.

ЧЕРТ. № 6

ТАБЛИЦА № 7.

УСИЛИЙ В СТЕРЖНЯХ ВЕРХНЕЙ И НИЖНЕЙ ГОРИЗОНТАЛЬНЫХ
ФОРМ ОТ СИЛЫ P^3_H .

СТЕРЖК.	S'_1 ВЕРХН.	S'_1 НИЖН.	СТЕРЖК.	S'_2 ВЕРХН.	S'_2 НИЖН.	СТЕРЖК.	S'_3 ВЕРХН.	S'_3 НИЖН.
1	-725	775	9	-93	-99	17	1420	-1520
2	725	-775	10	-900	960	18	0	0
3	-14,5	-15,5	11	970	-1040	19	-34,8	37,2
4	-725	775	12	-104,5	-111,5	20	-206	220
5	755	-815	13	-970	1040	21	-101,5	108,5
6	-81	-87	14	1110	-1185	22	-194	208
7	-740	790	15	-211	-226	23	-426	456
8	900	-960	16	-1110	1185			

ТАБЛ № 8

СТЕР- ЖЕНЬ	УСИЛИЕ
1	0
2	0
3	-1,12Р
4	1,42Р
5	-0,77Р
6	1,12Р
7	-1,78Р
8	0,96Р
9	-0,64Р
10	1,78Р
11	-2,33Р
12	0,8Р
13	-0,53Р
14	2,33Р
15	-2,72Р
16	0,63Р
17	-0,45Р
18	2,72Р
19	-3,05Р
20	0,53Р
21	-0,59Р
22	3,05Р
23	-3,71Р
24	1,03Р

-16-

К РАСЧЕТУ СФЕРМЕННОГО ФЮЗЕЛЯЖА

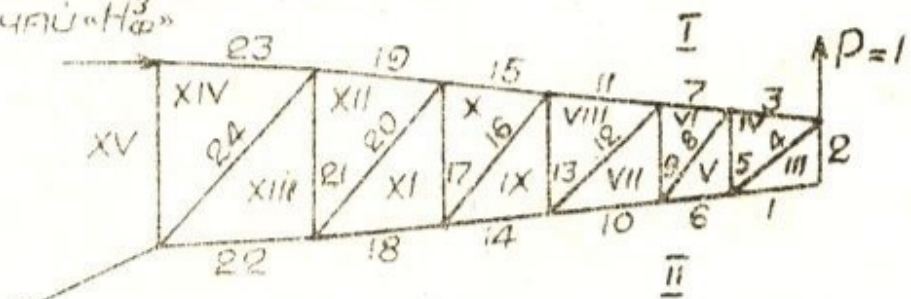
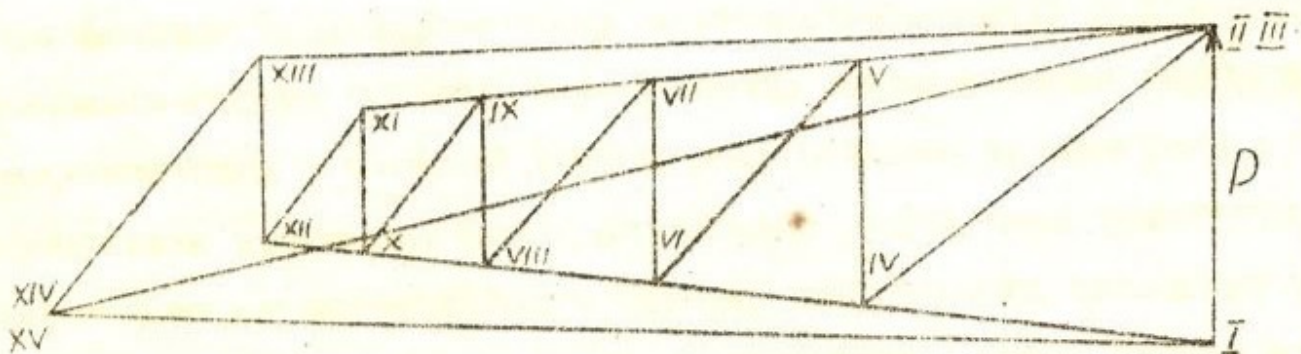
НА СЛУЧАЙ «Н_Ф³»

ДИАГРАММА КРЕМОНЫ № 3

для вертикальной сфермы от силы Р=1.



Теперь переходим к определению усилий от Мкр. Плечо (см. черт. № 4) h в сечении KK будет:

$$h = a + (H - c) = 34 + (56 - 26,8) = 63,2 \text{ см.}$$

$$M_{kr} = D_h^3 \cdot h = 600 \cdot 63,2 = 37800 \text{ кгсм.}$$

Очевидно, что за счет различного соотношения жесткостей труб верхней и нижней ферм в каждом сечении, положение центра жесткости по сечениям будет меняться, т.е. $\frac{c}{h} \neq \text{const.}$ (см. черт. № 5)

Однако при небольшем расхождении в соотношении жесткостей, незначительно перемещение центра жесткости.

Для фюзеляжа с горизонтальной осью симметрии (как наим расчетываемый - см. черт. № 4) изменение плеча крутящего момента « h » в каждом сечении фюзеляжа (а следовательно и величины Мкр.) происходит только за счет изменения размера ($H - c$), т.е. только за счет рассмотренного выше смещения центра жесткости как функции изменяющегося соотношения жесткостей труб. При небольшом изменении этого соотношения по сечениям (как в нашем расчете) можно с достаточной точностью расчета, считать, что центры жесткости всех сечений лежат на одной горизонтали, т.е. что $M_{kr} = \text{const}$, что и принято в нашем дальнейшем расчете.

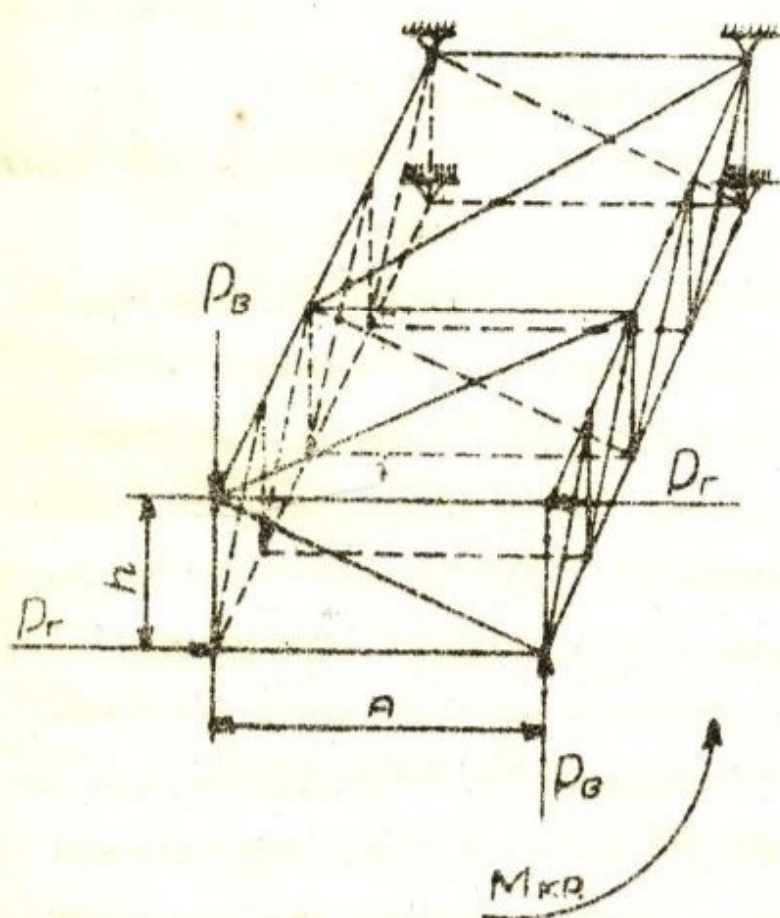
(О расчёте фюзеляжка с поклонной осью - см в кон.
це данного выпуска.)

Расчет фюзеляжка на кручение будем производить по методу Вигдесса.

Метод Вигдесса заключается в следующем:

Предположим, что необходимо доказать пространственную форму высотой h и шириной a находящуюся под действием крутящего момента M_{kr} . (Черт. № 7).

Общий крутящий мо-



Черт. № 7

мент исходя можно разложить на два момента действующие в горизонтальной и вертикальной плоскости и заменить их парами так чтобы

$$P_r \cdot h + P_v \cdot a = M_{kr}$$

Величины P_r и P_v определям пользуясь таким приемом: 1). Предположим, что работают только одни горизонтальные фермы тогда:

$$P_r' = \frac{M_{kr}}{h};$$

Зная P_r' находим усилия от действующей ее в каждом стержне горизонтальной фермы k (хотя бы построив диаграмму Кремоны).

2) Предположим, что работают только вертикальные фермы

$$P_B' = \frac{M_{\text{кр}}}{A}$$

и таким-же путем определим усилия в стержнях вертикальных ферм R_{iB} .

Но в действительности вся ферма работает целиком и, если известно обозначение:

$$K = \frac{M_{\text{гор.}}}{M_{\text{кр.}}} \quad \text{и} \quad 1-K = \frac{M_{\text{верт.}}}{M_{\text{кр.}}},$$

то действительные усилия в стержнях будут:

Усилия действующие в стержнях горизонтальной фермы $= K \cdot R_{iG}$.

Усилия действующие в стержнях вертикальной фермы $= (1-K) R_{iB}$.

Заметим, что в продольных стержнях (поясах) усилия от горизонтального и вертикального набора суммируются алгебраически с их знаками.

$$S_i = K R_{iG} + (1-K) R_{iB} = K (R_{iG} - R_{iB}) + R_{iB};$$

и вообще говоря усилие в любом стержне фермы можно выразить такой-же формулой:

$$S_i = K (R_{iG} - R_{iB}) + R_{iB} -$$

только в ней соответственно будут обращаться в нуль или R_{iG} или R_{iB} .

Величину коэффициента « K » определим из того условия, что работа всей фермы должна быть минимальной.

Работа растянутого или сжатого стержня:

$$V = \sum \frac{S_i^2 \cdot l}{2EF} \text{ или } V = \sum \frac{[K(R_{ir} - R_{iB}) + R_{iB}]^2 \cdot l}{2EF};$$

БЕРЕМ ПЕРВУЮ ПРОИЗВОДНУЮ И ПРИРАВНИВАЕМ ЕЕ НУЛЮ;

$$\frac{\partial V}{\partial K} = \sum \frac{e [K \cdot (R_{ir} - R_{iB}) + R_{iB}] (R_{ir} - R_{iB}) \cdot l}{2EF} = 0$$

Если считать (как предлагает Вүргесс), что момент M_{kr} распределяется однакды в том сечении, где он приложен, на $M_{kr, гор.} = P_g \cdot h$ и $M_{kr, верт.} = P_v \cdot A$ и горизонтальные и вертикальные фермы работают на изгиб от сил P_g и P_v , то коэф. $K = \text{const}$ и может быть вынесен за знак суммы.

(В этом предположении есть некоторая погрешность, ибо за счет изменения соотношения жесткостей горизонтальных и вертикальных ферм в каждом сечении, момент кручения в них будет перераспределяться, т.е. коэф. K будет свой для каждого сечения).

Практически это изменение соотношений жесткостей незначительно и метод Вүргесса дает достаточно точные результаты при расчете фюзеляжа). Вынося K за знак Σ , имеем:

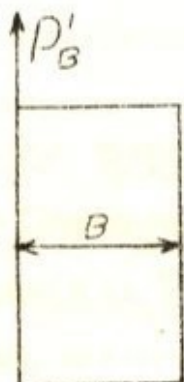
$$K \sum \frac{(R_{ir} - R_{iB})^2 \cdot l}{ER} = - \sum \frac{R_{iB} (R_{ir} - R_{iB}) l}{ER};$$

$$\sum \frac{(R_{iB} - R_{ir}) R_{iB} \cdot l}{ER}$$

И окончательно: $K = \frac{\sum \frac{(R_{iB} - R_{ir}) R_{iB} \cdot l}{ER}}{\sum \frac{(R_{ir} - R_{iB})^2 l}{ER}};$

Необходимо помнить, что при подсчете K , R_{fr} и R_{fb} следует брать с их знаками.

1). Предположим, что весь Мкр воспринимается только вертикальными фермами (черт. № 8).



$$\text{тогда } M_{kr} = P'_v \cdot B$$

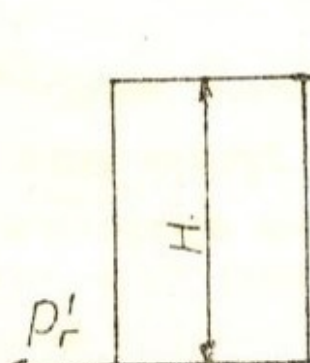
$$\text{откуда } P'_v = \frac{M_{kr}}{B} = \frac{37800}{28} = 1350 \text{ кг.}$$

Под действием этой силы в стержнях вертикальной фермы возникнут усилия R'_{ver} , которые мы можем определить из диаграммы Кремоны.

ЧЕРТ. № 8

(построенной для единичной силы (диаграмма № 3; таблица № 8)).

2) Предполагаем, что весь Мкр воспринимается только горизонтальными фермами (черт. № 9).



$$\text{тогда } M_{kr} = P'_r \cdot H.$$

$$\text{откуда } P'_r = \frac{M_{kr}}{H} = \frac{37800}{56} = 675 \text{ кг.}$$

Возникающие при этом усилия в стержнях горизонтальной фермы, мы можем определить из имеющейся уже у нас диаграммы Кремоны, для единичной силы, построенной для горизонтальной фермы. (диаграмма № 2, таблица № 5).

Полученные усилия сводим в таблицу № 9.

ТАБЛИЦА № 9

22

Усилий в стержнях горизонтальной и вертикальной фермы.
 ВЕРТИКАЛЬНАЯ ФЕРМА ГОРИЗОНТАЛЬНАЯ ФЕРМА

СТЕРЖЕНЬ.	УСИЛИЕ ПРИ $P=1$	УСИЛИЕ ПРИ $P_g' = 1350$	СТЕРЖЕНЬ.	УСИЛИЕ ПРИ $P=1$	УСИЛИЕ ПРИ $P_f' = 675 \text{ кг}$
R'_B					R'_F
1	0	0	1	-2,5	-1685
2	0	0	2	+2,5	+1685
3	-1,12	-1510	3	-0,05	-34,7
4	1,42	1915	4	-2,5	-1685
5	-0,77	-1040	5	+2,6	+1755
6	1,12	1510	6	-0,28	-189
7	-1,78	-2400	7	-2,55	-1720
8	0,96	1295	8	+3,1	+2090
9	-0,64	-865	9	-0,32	-216
10	1,78	2400	10	-3,1	-2090
11	-2,33	-3145	11	+3,35	+2260
12	0,8	1080	12	-0,36	-243
13	-0,53	-715	13	-3,35	-2260
14	2,33	3145	14	+3,83	+2585
15	-2,72	-3670	15	-0,73	-493
16	0,63	850	16	-3,83	-2585
17	-0,45	-608	17	+4,9	+3310
18	2,72	3670	18	0	0
19	-3,05	-4120	19	-0,12	-81
20	0,53	715	20	-0,71	-479
21	-0,59	-796	21	-0,35	-236
22	3,05	4120	22	-0,67	-452
23	-3,71	-5000	23	-1,47	-990
24	1,03	1390			

Усилия получены при предположении, что Мкр воспринимается или только вертикальными, или только горизонтальными фермами.

ВЕРХНЯЯ ГОРИЗОНТ. ФОРМА.	ВЕРХН. ЛЕД. ПОС.	БЕЗХ. ПОРОГ. ПОЯС	НИЖН. ЛЕД. ПОС.	НИЖН. ПОРОГ. ПОЯС	БЕЗХ. ЛЕД. ПОС.	НИЖН. ЛЕД. ПОС.	НИЖН. ПОРОГ. ПОЯС	БЕЗХ. ГОРИЗОНТ. ФОРМА.	ЧЕРЖ. СТЕКЛ. СОУЗ.	СТЕКЛ. дли. на	ℓ	F см ²	R' _B	R' _r	R' _B -R' _r	(R' _B -R' _r)R' _B ℓ	F	R' _r -R' _B	(R' _r -R' _B) ²	(R' _r -R' _B) ² ℓ
									1	1	62	0,471	0	-1685	1685	0	-1685	2839225	38000·10 ⁴	
									4	6	58	0,597	1510	-1685	3195	46700·10 ⁴	-3195	10100025	97000·10 ⁴	
									7	10	70	"	2400	-1720	4120	116000·10 ⁴	-4120	16974400	198500·10 ⁴	
									10	14	70	"	3145	-2090	5235	192500·10 ⁴	-5235	27405125	322000·10 ⁴	
									13	18	82	"	3670	-2260	5930	998000·10 ⁴	-5930	35164900	482000·10 ⁴	
									16	22	98	0,754	4120	-2585	6705	360000·10 ⁴	-6705	44951025	585000·10 ⁴	
									2	1	62	0,471	0	1685	-1685	0	1685	2839225	38000·10 ⁴	
									5	6	58	0,597	-1510	1755	-3265	47860·10 ⁴	3265	10550225	102800·10 ⁴	
									8	10	70	"	-2400	2090	-4490	126000·10 ⁴	4490	21601000	253000·10 ⁴	
									11	14	70	"	-3145	2260	-5405	199000·10 ⁴	5405	29214025	342200·10 ⁴	
									14	18	82	"	-3670	2585	-6255	315000·10 ⁴	6255	39725025	544000·10 ⁴	
									17	22	98	0,754	-4120	3310	-7430	398000·10 ⁴	7430	55204900	720000·10 ⁴	
									2	3	62	0,597	-1510	1685	-3195	50000·10 ⁴	3195	10208025	106000·10 ⁴	
									5	7	58	0,471	-2400	1755	-4155	124000·10 ⁴	4155	17264725	212000·10 ⁴	
									8	11	70	0,597	-3145	2090	-5235	194000·10 ⁴	5235	27425125	322000·10 ⁴	
									11	15	70	"	-3670	2260	-5930	254500·10 ⁴	5930	35764900	411500·10 ⁴	
									14	19	82	"	-4120	2585	-6705	379000·10 ⁴	6705	44957025	616000·10 ⁴	
									17	23	98	"	-5000	3310	-8310	451000·10 ⁴	8310	69056100	1130000·10 ⁴	
									1	3	62	0,597	1510	-1685	3195	50000·10 ⁴	-3195	1028025	106000·10 ⁴	
									4	7	58	0,471	2400	-1685	4085	120000·10 ⁴	-4085	16687225	205000·10 ⁴	
									7	11	70	0,597	3145	-1720	4865	172500·10 ⁴	-4865	23668225	278000·10 ⁴	
									10	15	70	"	3670	-2090	5760	248000·10 ⁴	-5760	33177600	389000·10 ⁴	
									13	19	82	"	4120	-2260	6380	361000·10 ⁴	-6380	40704400	559000·10 ⁴	
									16	23	98	"	5000	-2585	7585	621000·10 ⁴	-7585	57532225	790000·10 ⁴	
									3	28	0,471)	-34,7	34,7)	-34,7	1204	7,17·10 ⁴		
									6	50	")	-189	189)	-189	35721	37,9·10 ⁴		
									9	64	")	-216	216)	-216	466	6,32·10 ⁴		
									12	80	0,597)	-243	243)	-243	59049	792·10 ⁴		
									15	92	")	-493	493)	-493	243049	4060·10 ⁴		
									18	92	")	0	0)	0	0	0		
									19	70	0,471)	-81	81)	-81	6561	97,7·10 ⁴		
									20	90	")	-479	479)	-479	229441	4370·10 ⁴		
									21	100	")	-236	236)	-236	55696	1180·10 ⁴		
									22	120	0,597)	-452	452)	-452	204304	4100·10 ⁴		
									23	135	")	-990	990)	-990	980100	21100·10 ⁴		

ТАБЛИЦА № 10.

(продолжение)

—24—

ЧИСЛО ГОРИЗОНТ. ФЕРМЫ	ЧИСЛО ВЕТОК НА	ℓ	F см^2	R'_B	R'_r	$R'_B - R'_r$	$\frac{(R'_B - R'_r) R'_B \ell}{F}$	$R'_r - R'_B$	$(R'_r - R'_B)^2$	$\frac{(R'_r - R'_B)^2 \ell}{F}$
<i>Нижняя горизонт. ферма</i>										
3	28	0,597		-34,7	34,7			-34,7	1204	$5,65 \cdot 10^4$
6	50	»		-189	189			-189	35721	$288 \cdot 10^4$
9	64	»		-216	216			-216	466	$5 \cdot 10^4$
12	80	»		-243	243			-243	59049	$792 \cdot 10^4$
15	92	»		-493	493			-493	243049	$4060 \cdot 10^4$
18	92	»	0	0	0	0		0	0	0
19	70	»		-81	81			-81	6561	$77 \cdot 10^4$
20	90	»		-479	479			-479	229441	$3450 \cdot 10^4$
21	100	»		-236	236			-236	55696	$930 \cdot 10^4$
22	120	»		-452	452			-452	204304	$4100 \cdot 10^4$
23	135	»		-990	990			-990	980100	$21100 \cdot 10^4$
<i>Левая вертикальная ферма</i>										
2	43	0,471	0		0	0		0	0	0
4	80	»	1915		1915	$62400 \cdot 10^4$	-1915		3667325	$62300 \cdot 10^4$
5	56	»	-1040		-1040	$12850 \cdot 10^4$	1040		1081600	$12810 \cdot 10^4$
8	85	0,597	1295		1295	$23850 \cdot 10^4$	-1295		1677025	$23820 \cdot 10^4$
9	68	»	-865		-865	$8500 \cdot 10^4$	865		748225	$8500 \cdot 10^4$
12	100	»	1080		1080	$19550 \cdot 10^4$	-1080		1166400	$19600 \cdot 10^4$
13	82	»	-715		-715	$7000 \cdot 10^4$	715		511225	$7000 \cdot 10^4$
16	114	»	850		850	$13790 \cdot 10^4$	-850		722500	$13400 \cdot 10^4$
17	96	»	-608		-608	$5950 \cdot 10^4$	608		369664	$6190 \cdot 10^4$
20	132	»	715		715	$11300 \cdot 10^4$	-715		511225	$11300 \cdot 10^4$
21	113	»	-796		-796	$12000 \cdot 10^4$	796		633616	$12000 \cdot 10^4$
24	150	»	1390		1390	$49000 \cdot 10^4$	-1390		1716100	$42100 \cdot 10^4$

ЛЯВАЯ ВЕРТИКАЛЬНАЯ ФОРМА

2	43	0,471	0	0	0	0	0	0
4	80	»	-1915	62400·10 ⁴	1915	3667325	62200·10 ⁴	
5	56	»	1040	12850·10 ⁴	-1040	1081600	12810·10 ⁴	
8	85	0,597	-1295	23850·10 ⁴	1295	1677025	23820·10 ⁴	
9	68	»	865	8500·10 ⁴	-865	748225	8500·10 ⁴	
12	100	»	-1080	-1080	19550·10 ⁴	1080	1166400	19600·10 ⁴
13	82	»	-715	7000·10 ⁴	-715	511225	7000·10 ⁴	
16	114	»	-850	13790·10 ⁴	850	722500	13400·10 ⁴	
17	96	»	608	608	5950·10 ⁴	-608	369664	6190·10 ⁴
20	132	»	-715	-715	11300·10 ⁴	715	511225	1130·10 ⁴
21	113	»	796	796	12000·10 ⁴	-796	633616	12000·10 ⁴
24	150	»	-1390	-1390	49000·10 ⁴	1390	1716100	48500·10 ⁴

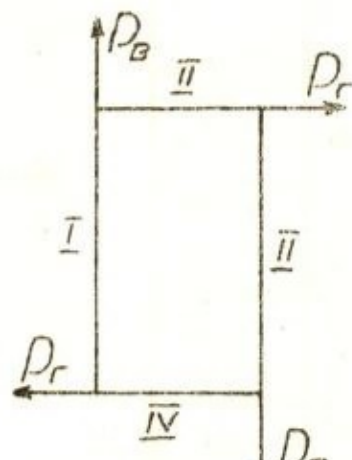
$$\sum 5575440 \cdot 10^4$$

$$\sum 9364274,74 \cdot 10^4$$

$$K = \sum \frac{(R'_B - R'_F) R'_B \rho}{E F'} = \frac{5575440 \cdot 10^4}{9364274,74 \cdot 10^4} \approx 0,6$$

$$\sum \frac{(R'_F - R'_B)^2 \rho}{E F'} =$$

Для вычисления коэффициента «*K*» составляем таблицу № 10



При определении знаков в поясах учитно следующее: На ферму I сила действует снизу вверх - следовательно, верхний пояс ее будет скат, а нижний растянут т.е. знаки усилий будут соответствовать знакам таблицы № 9. Для фермы III знаки изменятся на обратные. (см. чертеж № 10). Горизонтальная ферма II расположена таким образом, что растянутый пояс находится слева, скатый справа - знаки усилий соответствуют знакам усилий по таблице № 9.

Ферма IV такая же как и ферма II, располагается так, что пояса, бывшие растянутыми в ферме II, оказываются растянутыми и в ферме IV (т.е. ферма IV представляет собой ферму II, повернутую на 180° вокруг продольной оси фюзеляжа), тогда знаки усилий попрекнему соответствуют знакам таблицы № 9 (см. черт. № 10).

В таблице № 10 каждый из стержней поясов имеет 2 номера, из которых один определяет его номер как пояса горизонтальной фермы (соответственно диаграмме № 2), а другой - как пояса вертикальной фермы (соответственно диаграмме № 3).

Зная, теперь, коэффициент « K », можем определить действительные силы, приходящиеся на горизонталь -ный и вертикальный наборы фермы от M_{kr} .

$$P_r = \frac{0,6 \cdot 37800}{56} = 405 \text{ кг}$$

$$P_v = \frac{0,4 \cdot 37800}{28} = 540 \text{ кг}$$

Имея эти силы, можем получить усилия в стержнях фермы (горизонтальные от силы P_r и вертикальные от силы P_v) - путем помножения на них усилий в стержнях, полученных, от единичной нагрузки $P=1$ (из диаграммы №2 и №3, (таблица №9)). Полученные, таким образом, усилия в стержнях горизонтальной фермы необходимо просуммировать с усилиями в тех же стержнях, полученными от действия силы P_h^3 (суммирование необходимо производить с учетом знаков) см. табл. №7.

ТАБЛИЦА № 11

усилий в стержнях гориз. ферм. под действием сил P_h^3 и M_{kr} ($P_r = 405 \text{ кг}$)

№ СТЕР- ЖНЯ	УСИЛИЕ от $P=1$	R_g УСИЛИЕ от $P_r =$ $= 405 \text{ кг}$	ВЕРХНЯЯ ФЕРМА	НИЖНЯЯ ФЕРМА
1	-2,5	-1010	-725	-1735
2	+2,5	+1010	725	1735
3	-0,05	-20,2	-14,5	-34,7
4	-2,5	-1010	-725	-1735
5	+2,6	+1052	755	1807
6	-0,28	-113	-81	-194
7	-2,55	-1032	-740	-1772
				790
				-242

ТАБЛИЦА № 11

(ПРОДОЛЖЕНИЕ).

№ СТЕР- ЖНЯ.	УСИЛЕ- НИЕ от $P=1$	R_F УСИЛЕНИЕ от $R_F =$ $= 405 \text{ кг}$	ВЕРХНЯЯ ФЕРМА		НИЗКНАЯ ФЕРМА	
			S'_1 от P_h^3	$S + R_F$	S'_1 от P_h^3	$S'_1 + R_F$
8	+3,1	1255	900	2155	-960	295
9	-0,32	-129	-93	-222	-99	-228
10	-5,1	-1255	-900	-2155	960	-295
11	+3,35	1360	970	2330	-1040	320
12	-0,36	-146	-104,5	-250,5	-111,5	-257,5
13	-3,35	-1360	-970	-2330	1040	-320
14	+3,83	1550	1110	2660	-1185	365
15	-0,73	-300	-211	-511	-226	-526
16	-3,82	-1550	-1110	-2660	1185	-365
17	+4,9	1985	1420	3405	-1520	465
18	0	0	0	0	0	0
19	-0,12	-48,5	-34,8	-83,3	37,2	-113
20	-0,71	-298	-206	-504	220	-78
21	-0,35	-142	-101,5	-243,5	108,5	-33,5
22	-0,67	-272	-194	-466	208	-64
23	-1,47	-595	-486	-1021	456	-136

Пользуясь таблицей № 10 можно определить усилия в стержнях вертикальной фермы от крутящего момента.

ТАБЛИЦА № 12

УСИЛИЯ В СТЕРЖНЯХ ВЕРТИКАЛЬНОЙ ФЕРМЫ ОТ МКР ($P_B = 540 \text{ кг}$).

$\#$ стерж.	Уси- лие при $P=1$	Уси- лие при $P=540$									
1	0	0	7	-1,78	-960	13	-0,53	-286	19	-3,05	-1650
2	0	0	8	0,96	518	14	2,33	1255	20	0,53	296
3	-1,12	-605	9	-0,64	-345	15	-2,72	-1470	21	-0,59	-318
4	1,42	765	10	1,78	960	16	0,63	340	22	3,05	1650
5	-0,77	-415	11	-2,33	-1255	17	-0,45	-243	23	-3,71	-2000
6	1,12	605	12	0,8	432	18	2,72	1470	24	1,03	555

Для поясов следует просуммировать усилия возникающие в них как в стержнях вертикальной и горизонтальной ферм (с учетом их знаков).

Таким образом получаем сводную таблицу № 13

СВОДНАЯ ТАБЛИЦА № 13

Нижн. левый пояс.	$\#$ стерж. гориз.	$\#$ стерж. вертик.	Уси- лие го- риз.	Уси- лие вер- тик.	СУМ- МАРН.	Нижн. гориз. НАБОР.	$\#$ стерж. гориз.	$\#$ стерж. вертик.	Уси- лие го- риз.	Уси- лие вер- тик.	СУМ- МАРН.
				Уси- лие.							
	1	1	-235	0	-235		3		-35,7		-35,7
	4	6	-235	605	370		6		-200		-200
	7	10	-242	960	718		9		-228		-228
	10	14	-295	1255	960		12		-257,5		-257,5
	13	18	-320	1470	1150		15		-526		-526
	16	22	-365	1650	1285		18		0		0

Сводная таблица № 13

(продолжение 1е)

ВЕРХН. ПРАВ. ПОЯС ВЕРХН. ЛЕВ. ПОЯС ВЕДОХ. ПРАВ. ПОЯС ВЕДОХ. ГОРД. НАБОД	№ СПЕЦИК ГОРД.	УСИ- ЛИЕ ГО- РД.	УСИ- ЛИЕ ВЕР- ТИК	СУМ- МАРН. УСИ- ЛИЕ	Нижн. горд. набор.	№ СПЕЦИК ГОРД.	№ СПЕЦИК ГОРД.	УСИ- ЛИЕ ГО- РД.	УСИ- ЛИЕ ВЕР- ТИК	СУМ- МАРН. УСИ- ЛИЕ
2	1	+235	0	235		19		-11,3		-11,3
5	6	+237	-605	-368		20		-78		-78
8	10	+295	-960	-665		21		-33,5		-33,5
11	14	+320	-1255	-935		22		-64		-64
14	18	+365	-1470	-1105		23		-136		-136
17	22	+465	-1650	-1185			2	0	0	
2	3	1735	-605	1130			4		765	765
5	7	1807	-960	847			5		-415	-415
8	11	2155	-1255	900			8		518	518
11	15	2330	-1470	860			9		-345	-345
14	19	2660	-1650	1010			12		432	432
17	23	3405	-2000	1405			13		-286	-286
1	3	-1735	605	-1130			16		340	340
4	7	-1735	960	-775			17		-243	-243
7	11	-1772	1255	-517			20		296	296
10	15	-2155	1470	-685			21		-318	-318
13	19	-2330	1650	-680			24		555	555
16	23	-2660	2000	-660			2	0	0	
3		-34,7		-34,7			4		-765	-765
6		-194		-194			5		415	415
9		-222		-222			8		-518	-518
12		-250,5		-250,5			9		345	345
15		-511		-511			12		-432	-432

- 30 -

Сводная таблица № 13

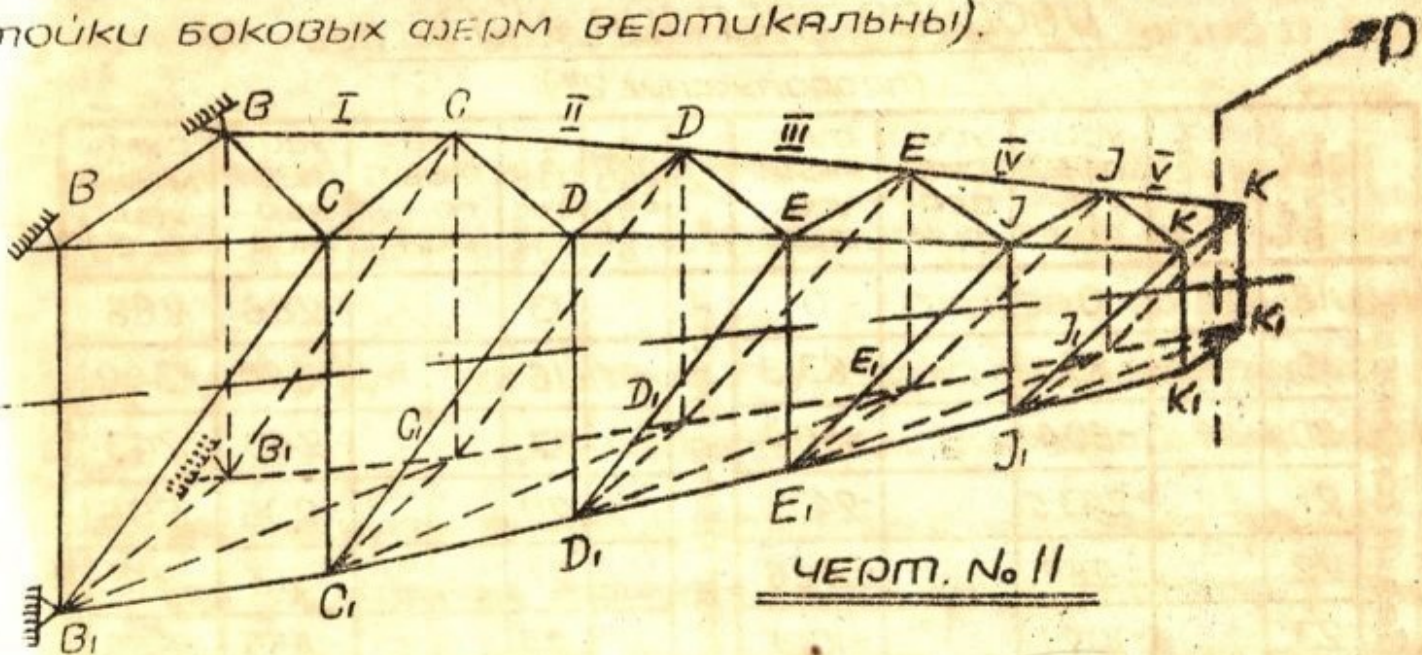
(продолжение № 2)

Верхн. гор. напр. по	№ стенд. гориз.	№ стенд. вертик.	Усилие гориз.	Усилие вертик.	Суммарн. усилие.	№ стенд. гориз.	№ стенд. вертик.	Усилие гориз.	Усилие вертик.	Суммарн. усилие.
	стенд. гориз.	вертик.	гориз.	вертик.	гориз.		вертик.	гориз.	вертик.	гориз.
18			0		0			13		286
19			-83,3		-83,3			16		-340
20			-504		-504			17		243
21			-243,5		-243,5			20		-296
22			-466		-466			21		318
23			-1021		-1021	Проверка		24		-555

По полученным окончательным данным (табл. № 13)

необходимо проверить прочности при расчете площади сечений труб и в случае если они окажутся малыми, или перетяжеленными, произвести пересчет взяв другие (большие или меньшие) размеры.

К вопросу о расчете фюзеляжа с наклонной осью
стойки боковых арм вертикальны).



Черт. № II

Ввиду того, что момент крутящий в этом случае нельзя принять постоянным (т.к. расстояния от центра жесткости в каждом сечении до горизонтальной плоскости проходящей через силу P различны).

Расчет производится следующим образом:

Рассматриваем только крайний отсек «IV» считая его закрепленным в точках JJ_1J_1 , определяем для него центр жесткости; по центру жесткости определяем M_{K_0} , затем находим коэф. « K » для отсека \bar{V} и рассчитываем его по известному уже методу Виргесса от M_{K_0} и силы P_K^3 , разнесенной пропорционально жесткостям между горизонтальными фермами отсека. Затем переходим к следующему отсеку «III», считаем его шарнирно закрепленным в точках EE_1E_1 и продолживаем для него тот же расчет, что и для отсека « \bar{V} », т.е., известным способом, определяем центр жесткости отсека, зная центр жесткости, определяем M_{K_0}

В ДАННОМ ОТСЕКЕ, НАХОДИМ «*K*» ДЛЯ ОТСЕКА «*IV*» И ОТ МОМЕНТА И СИЛЫ R_h^3 ОПРЕДЕЛЯЕМ УСИЛИЕ ВО ВСЕХ ОПОРЯХ ЕГО.

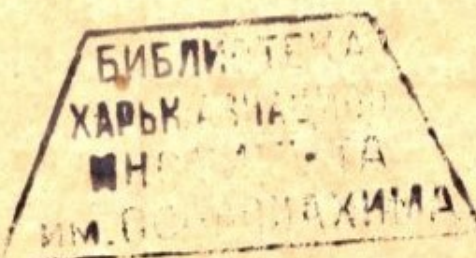
ТАКИМ ОБРАЗОМ, МЫ ПОСЛЕДОВАТЕЛЬНО ПЕРЕХОДИМ К ОТСЕКАМ: *III*, *II* И *I*, ПРОДЕЛАВ ДЛЯ КАЖДОГО ИЗ НИХ АНАЛОГИЧНЫЙ РАСЧЕТ.

БЕЗУСЛОВНО В РАССМАТРИВАЕМОЙ КОНСТРУКЦИИ РАСЧЕТ ЗНАЧИТЕЛЬНО УСЛОЖНЯЕТСЯ.

ТОЧНЕЕ БЫЛО БЫ ДЛЯ ОПРЕДЕЛЕНИЯ ЦЕНТРА ЖЕСТКОСТИ *V* ОТСЕКА, ВВОДИТЬ В РАСЧЕТ НЕ ТОЛЬКО ДАННЫЙ ОТСЕК, НО ВСЮ ФЕРМУ ОТ ОПОР ДО СЕЧЕНИЯ *KK*, (НЕ ВВОДЯ ИСКУССТВ. ЗАКРЕПЛЕНИЯ В ТОЧКАХ *JJJ, J₁*).

Аналогично, для определения центра жесткости *IV* отсека, вводить в расчет всю ферму от узлов до сечения *JJJ, J₁*, (не вводя искусственного закрепления *IV* отсека в сечениях *EEE, E₁*), но такой расчет будет чрезвычайно громоздок для его практического использования.

3354



1.5. ОПЕЧАПКИ В 1, 8 и 10% СЛЕ

стол.	отработка	напечатано	
43	исходных	на один отпечаток	нужно
53	после фильтры $f = \dots$		$\text{ГДЕ } C - \text{ половина ве-} \\ \text{са самолета}$
48	после 9 стоя		коэф. испечения $M = 0,75$ плотность масла $\rho = 1,15 \cdot 10^{-6} \frac{\text{кг сек}^2}{\text{см}^4}$
50	таблица № 5 всегда		Величины логарифмов сущинутъ на один стю- ку вниз.
54	таблица № 9		Цифры в графах 7 и 8 $(\bar{A}_{\text{пн}} + \bar{A}_{\text{ам}}) \text{ и } \bar{A}_{\text{н}} - (\bar{A}_{\text{пн}} + \bar{A}_{\text{ам}})$ необходимо поменять местами.
1. * Опечатки в 5% выпуске			
12	таблица № 5 форм. фюз.		Успех в стержне 10 нужного набора напе- чатано - 0,36 Р. нужно + 3,1 Р.

33 -